### МИНИСТЕРСТВО ОБРАЗОВАНИЯ И НАУКИ РЕСПУБЛИКИ КАЗАХСТАН

Казахский национальный исследовательский технический университет имени К.И. Сатпаева

Институт Промышленной инженерии имени А.Буркитбаева

Кафедра Транспортная техника

#### Балтабай А.М.

Повышение эффективности бульдозера Б10М путем усовершенствования рабочего органа

# дипломная работа

Специальность 5В071300 — Транспорт, транспортная техника и технологии

# МИНИСТЕРСТВО ОБРАЗОВАНИЯ И НАУКИ РЕСПУБЛИКИ КАЗАХСТАН

Казахский национальный исследовательский технический университет имени К.И. Сатпаева

Институт Промышленной инженерии имени А.Буркитбаева

Кафедра Транспортная техника

# ДОПУЩЕН К ЗАЩИТЕ

Заведующий кафедрой ТТ д-р техн. наук, профессор Машеков С.А. «\_\_\_»\_\_\_\_2019 г.

# дипломная работа

На тему: «Повышение эффективности бульдозера Б10М путем усовершенствования рабочего органа»

По специальности 5В071300 - Транспорт, транспортная техника и технологии

Выполнил:

Реценвен

Балтабай А.М.

Кандилат технических наук,

Байжуманов К.Д.

ФАКУЛЬТЕТІ

2019 г.

Научный руководитель

РhD, сениор-лектор, Буршукова Г.А.

Алматы 2019

# МИНИСТЕРСТВО ОБРАЗОВАНИЯ И НАУКИ РЕСПУБЛИКИ КАЗАХСТАН

Казахский национальный исследовательский технический университет имени К.И. Сатпаева

Институт Промышленной инженерии имени А.Буркитбаева

Кафедра Транспортная техника

5В071300 - Транспорт, транспортная техника и технологии

**УТВЕРЖДАЮ** 

Заведующий кафедрой ТТ д-р техн. наук, профессор Машеков С.А. 2019

# **ЗАДАНИЕ**

на выполнение дипломной работы

Обучающемуся Балтабаю Айболу Мұстафаұлы

эффективности бульдозера Б10М путем «Повышение Тема усовершенствования рабочего органа»

Утверждена решением Ученого совета № 1252-б от 11 ноября 2018 г. Срок сдачи законченной дипломной работы «20» мая 2019 г.

Исходные данные к дипломной работе Бульдозер Б10М

Перечень подлежащих разработке в дипломной работе вопросов или краткое содержание дипломной работы

а) Обзор существующих конструкций рабочих органов бульдозера

Перечень графического материала (с точным указанием обязательных чертежей) Общий вид бульдозера, рабочее оборудование, патентный обзор, сборочный чертеж, деталировка, технологическая наладка.

Рекомендуемая основная литература Ветров Ю.А., Баладинский В.Л. «Машины для земляных работ» учебное

пособие для ВУЗов- Киев: Вища школа. Головное изд., 1980.- 192 стр. Домбровский Н.Г., Гальперин М.И. «Землеройно-транспортные машины», М:

«Машиностроение», 1965 г

# ГРАФИК

Наименования разделе Сипломной работы			
	разделов	Chorer	Примечание
вопросов	Danid Dati Inco.	научному руководителю и	
		консультантам	
1)Теоретическа (введение)	часть	08.01-26.02	
2) Патентные и	сследования	22.02.12.02	
3) Конструктор		23.02-13.03	
		13.03-15.04	
4) Технологиче	еская часть	15.04-30.04	

# Подписи

консультантов и нормоконтролера на законченную дипломную работу с указанием относящихся к ним разделов работы

TT	тиски отпосищихся к ним разделов расоты		
Наименования	Научн.	Дата подписания	Подпись
разделов	руководитель,		
	консультанты,		
	И.О.Ф.		
	(уч. степень, звание)		
Нормоконтроль	Козбагаров Р.А.	11 05 10	n man 9
	к.т.н., сениор- лектор	16.0513x	h. Hours

Научный руководитель	Буу	ршукова Г.А.
Задание принял к исполнению	обучающийся уш	Балтабай А.М.
Дата	"17" horeopy	2018 г.

## **АННОТАЦИЯ**

Тема дипломной работы «Повышение эффективности бульдозера Б10М путем усовершенствования рабочего органа» на базе трактора Т-10. В частности разрабатываются рабочие узлы. Провели патентные исследования и предложили модернизацию данного типа машины с целью повышения производительности. Провели тяговые расчеты бульдозера.

## **АНДАТПА**

Дипломдық жұмыстың тақырыбы Б10М бульдозердің жұмыс органын жетілдіру арқылы тиімділігін жоғарылату. Дербес жағдайда жұмыстың түйіншектері әзірленеді. Патенттік зерттеулер жүргізілді және өнімділікті жақсарту үшін осы түрдегі машинаны жаңартуға ұсыныс жасалды. Бульдозердің тарту есебін жүргіздік.

## ANNOTATION

Theme of diploma work "Increase of efficiency of bulldozer by the improvement of working organ" on the base of tractor of T- 10. " Working knots are developed in particular. Undertook patent studies and offered modernisation of this type of machine with the purpose of increase of the productivity.

## СОДЕРЖАНИЕ

#### Введение

- 1 Основная часть
- 1.1 Характеристика объекта исследования
- 1.1.1 Общие сведения о бульдозерах
- 1.1.2 Назначение, классификация и область применения бульдозеров
- 1.1.3 Устройство машины и ее рабочее оборудование
- 1.2 Описание рабочего процесса бульдозера
- 1.2.1 Техническая характеристика бульдозера Б10М
- 1.2.2 Преимущества бульдозера Б10М
- 2 Патентное исследование
- 2.1 Выбор перспективной конструкции рабочего оборудования
- 2.2 Описание сущности модернизации по результатам патентного исследования
- 2.3 Вывод по результатам патентного исследования
- 3 Конструкторская часть
- 3.1 Выбор основных параметров
- 3.2 Тяговый расчет
- 3.3 Расчет усилий действующих на исполнительные механизмы
- 3.4 Расчет гидросистемы
- 3.5 Расчет отвала на прочность
- 3.6 Расчет производительности бульдозера
- 4 Технологическая часть
- 4.1 Описание детали
- 4.2 Выбор метода получения заготовки
- 4.3 Разработка технологического маршрута
- 4.4 Расчет режимов резания
- 4.5 Расчет припусков

Заключение

Список использованной литературы

Приложение

## **ВВЕДЕНИЕ**

Ежегодно в нашей стране увеличиваются объемы строительных работ - сооружаются новые линии железных и автомобильных дорог, возводятся новые заводы и фабрики, растут темпы жилищного строительства, развивается добыча полезных ископаемых и строительных материалов, строятся новые нефте- и газопроводы.

Интенсивное развитие промышленности требует проведения большого объема земляных работ механизированным способом.

Особое место при механизации земляных работ занимают бульдозеры.

Несмотря на быстрое развитие новых методов разработки грунтов и совершенствование конструкций специализированных машин, механический способ их разрушения, копания и перемещения бульдозерами в ближайшем будущем останется наиболее эффективным в большинстве эксплуатационных условий, что объясняется относительной простотой конструкции бульдозеров, широкой сферой и универсальностью применения, высокой производительностью и низкой стоимостью единицы продукции.

Развитие конструкций современных бульдозеров предусматривает:

- -увеличение мощности базовых машин;
- -механизацию и автоматизацию управления базовой машиной и рабочим органом;
  - -создание машин специального назначения;
  - -совершенствование формы отвала и режущих ножей;
  - -применение отвалов с управляемыми режущими ножами и открылками;
- -создание различного дополнительного оборудования, расширяющего область применения базовых машин бульдозеров и повышающего производительность при выполнении определенных работ.

Помимо общих тенденций развития строительно-дорожных машин при создании и совершенствовании бульдозеров учитывают специфические особенности их применения и эксплуатации. В частности, с целью расширения области применения при различных климатических и грунтовых условиях широко применяют их различные исполнения (тропическое, умеренное и северное) и модификации (для подземных, подводных, горных работ и др.).

В последнее время с целью облегчения эксплуатации и удешевления производства широко используют единые, конструктивно подобные решения навесного оборудования во всех типоразмерных рядах бульдозеров.

Создают семейства машин в смежных типоразмерах, принимают меры по улучшению технико-экономических показателей строительных машин и оборудования, повышению их единичной мощности, надежности, ресурса работы машин, в том числе гидропривода, снижению трудоемкости технического обслуживания и ремонта.

#### 1 Основная часть

## 1.1.1 Назначение, классификация и область применения бульдозеров

Бульдозер представляет собой землеройно-транспортную машину, состоящую из базовой машины, которой обычно бывает трактор мощностью до 450 кВт или колесный двухосный тягач мощностью 600 кВт, и навесного бульдозерного оборудования. Оно может быть как основным, так и вспомогательным.

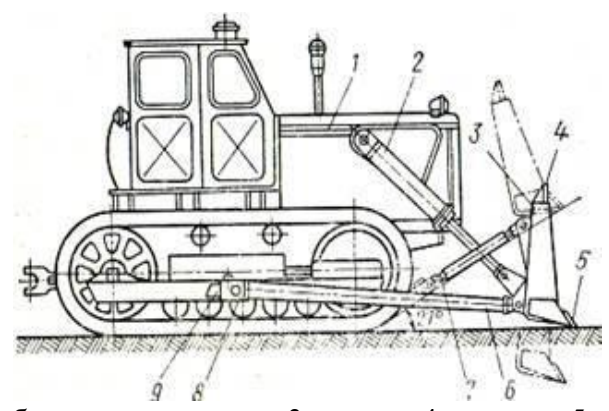
Бульдозеры служат для механизации земляных работ при послойном копании, перемещении (на расстояние 60...180 м), укладке и планировке грунтов. Их классифицируют по назначению, силе тяги базовой машины, мощности силовой установки, типу движителя, конструктивным признакам, системе управления отвалом.

- 1. По назначению:- бульдозеры общего назначения (для разнообразных работ в различных грунтовых условиях);- бульдозеры специального назначения;
- 2. По номинальному тяговому усилию:- малогабаритные (тяговое усилие до 25 кH);- легкие (25-135 кH);- средние (135-200 кH);- тяжелые (200-300 кH);- сверхтяжелые (более 300 kH);
- 3. По мощности двигателей базовых машин:- малогабаритные (мощность до 45 кВт);- легкие (45-120 кВт);- средние (120-150 кВт);- тяжелые (150-225 кВт);- сверхтяжелые (более 225 кВт);
  - 4. По типу движителей:- колесные бульдозеры;- гусеничные бульдозеры;
- 5. По конструктивным признакам:- бульдозеры с рабочим оборудованием впереди и (или) сзади базовой машины;- бульдозеры с поворотным или неповоротным отвалом;
  - 6. По системе привода отвала:- с гидравлическим управлением отвалом;
  - с канатным управлением.

Бульдозеры получили широкое применение в строительстве. От общего объема земляных работ на долю бульдозеров приходится 35-40%. Их особенно применяют в дорожном, мелиоративном строительстве и в карьерах горнорудной промышленности. Ими производят планировочные работы, устройство автодорожных и железнодорожных насыпей высотой до 2м из боковых резервов, транспортировку грунта на расстояние до 100 м, рытье каналов и котлованов, засыпку траншей и ям, очистку дорог и строительных площадок от снега, валку деревьев и корчевку пней. Иногда бульдозеры используются в качестве толкачей для скреперов.

## 1.1.2 Устройство машины и ее рабочее оборудование

Любой бульдозер состоит из базового трактора, рабочего органа (отвала) и механизма привода рабочего органа.

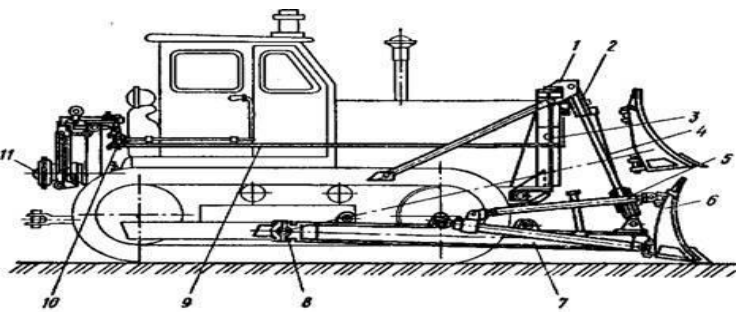


1 - толкающая рама, 2 - боковые толкатели, 3 - отвал, 4 - раскос, 5 - гидроцилиндры. Рисунок 1- Общий вид бульдозера

На рисунке 1 изображен базовый трактор 6, с отвалом 3, связанные боковыми толкателями 2, раскосом 4 и универсальной толкающей рамой 1. Подъем и опускание отвала производят гидроцилиндрами 5.

Базовый трактор состоит из движителя (гусеничной тележки), кабины машиниста с органами управления и двигательного отсека.

Рабочим оборудованием бульдозера называют землеройно-транспортный орган, навешиваемый спереди базовой машины и управляемый с помощью гидравлического привода. Рабочее оборудование состоит из отвала, толкающих брусьев, гидрораскоса, винтового раскоса, упряжных шарниров, центрального и боковых ножей.



1 - стойка, 2, 5 - обоймы, 3, 10 - блоки, 4 - полиспаст, 6 - отвал, 7 - рама, 8 - шарнир, 9 - канат, ;11 — лебедка.

Рисунок 2 - Рабочее оборудование бульдозера с канатным приводом

Рабочее оборудование состоит из толкающих брусьев 6, которые посредствам универсальных (упряжных) шарниров 8 крепятся к базовому трактору. К передним концам толкающих брусьев с помощью шарниров 11 прикреплен отвал 1, выполненный разъемным из двух симметричных секций 2 и 3, соединенных в верхней части одноосным шарниром 4. Ось шарнира 4 параллельна продольной оси трактора. Раскосы 9, выполненные в виде гидроцилиндров, соединены с верхней частью отвала шарнирами 10 и толкающими брусьями шарнирами 18. Тыльная сторона отвала снабжена кронштейнами 14. Элементы поперечной стабилизации - тяги 7 крепятся к кронштейнам 14 отвала и толкающим брусьям универсальными шарнирами 15 и 17. Гидроцилиндры подъема-опускания прикреплены шарнирно к секциям

отвала и трактору. На тыльной стороне отвала крепится гидроцилиндр 5 поворота секций 2 и 3, установленный вертикально. Гидроцилиндр 5 прикреплен непосредственно к шарнирному трехзвеннику, среднее звено которого выполнено в виде горизонтально расположенной серьги 12, а боковые - в виде шарнирных тяг 13. Серьга 12 шарнирно соединена с тягами 13, каждая из которых посредством шарнира 16 установлена в кронштейне 14 соответствующей секции отвала.

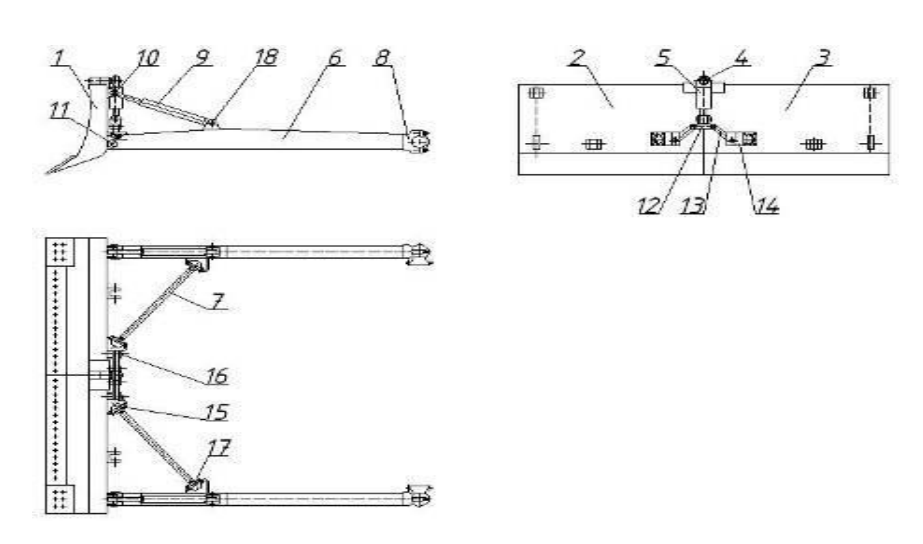
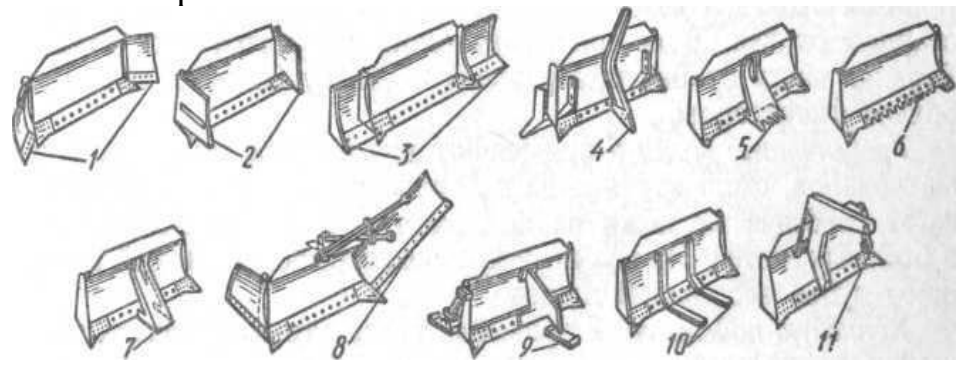


Рисунок 3- Схема рабочего оборудования бульдозера

Преимущественно на бульдозерах с неповоротными отвалами к основному бульдозерному оборудованию устанавливают дополнительное оборудование, используя болты с гайками, поэтому его называют съемным.

Уширители 1 применяют при работе на легких грунтах или насыпных материалах. Они увеличивают ширину отвала, призму волочения и производительность бульдозера.

Уширители представляют собой секции, изогнутые по профилю основного листа бульдозера. Сзади секции усилены ребрами жесткости. С помощью болтов с гайками уширители жестко крепят к боковым щекам отвала под углом 30° к поверхности.



1 - уширители, 2 - открылки, 3 - удлинители, 4 - рыхлительный зуб, 5 - кирковщик, 6 - гребенчатые ножи, 7 - канавная надставка, 8 - откосник, 9 - опорная лыжа, 10 - грузовые вилы, 11 - грузоподъемный крюк Рисунок 4-Виды рабочего оборудования

## 1.2 Описание рабочего процесса бульдозера

Рабочий процесс бульдозера состоит из копания грунта, образования призмы волочения, транспортирования ее к месту укладки, остановки для переключения передач и подъема отвала, обратного хода машины, остановки для включения переднего хода и опускания отвала на рабочую поверхность.

## 1.2.1 Техническая характеристика бульдозера Б10М

Бульдозер выпускается Челябинским тракторным заводом на базе трактора Т-170, разработанного в начале 60-х годов.



Рисунок 5 - Бульдозер Б10М

Бульдозер Б10М (МТ) с механической трансмиссией является результатом модернизации тракторов типа Т10 (Т-170). Последовательная и планомерная работа по совершенствованию и модернизации выпускаемой продукции реализована в новых технических решениях:

- применены длинноходовые гидроцилиндры, что позволило снизить рабочее давление в гидравлической системе на 40% и увеличить ресурс;
- вынесенные вперед точки крепления гидроцилиндров позволили уменьшить усилия при заглублении и подъеме отвала, повысить точность и скорость его перемещения;
- применение балансирной балки подвески, длинноходовых гидроцилиндров и вынесенных вперед точек крепления гидроцилиндров позволяют максимально использовать массу бульдозера Б10М при бульдозировании;
- изменена компоновка моторного отсека, что обеспечивает свободный доступ к двигателю в передней его части и облегчает техническое обслуживание;
- новая конструкция полусферического отвала позволяет повысить производительность бульдозера на 20% на грунтах 1-3 категорий плотности.

Бульдозер Б10М предназначен для разработки грунтов I-III категории без предварительного рыхления, грунтов IV категории с предварительным

рыхлением, а также трещиноватых скальных пород и мерзлых грунтов. Бульдозер Б10М может эксплуатироваться в условиях умеренного и холодного климата при температурах окружающего воздуха от плюс 40 до минус 50° С, на высоте до 3000 м над уровнем моря, при высокой запыленности, а также в условиях тропического климата (тропическое исполнение).

Таблица 1- Основное исполнение

Мощность двигателя Д180	- 132 кВт
Исполнение ходовой системы по числу	- 6 или 5
опорных катков, шт.	
Исполнение системы пуска двигателя	-электростартерная (ЭССП) - или пусковой двигатель П-23У
Применяемое прицепное устройство	- жесткое или маятниковое
Бульдозерное и рыхлительное оборудование	- из числа предусмотренных

# 1) Техническая характеристика

Таблица 2 - Масса эксплуатационная, кг

Базового трактора	
T10M.0100	15475
T10M.0110	14855
трактора с бульдозерным оборудованием типа Е	18425
и жестким прицепным устройством	17705
трактора с бульдозерным типа Е	20525
и рыхлительным оборудованием типа Р	19905
Максимальное тяговое усилие базового трактора, не	
менее, кН	151,8(15,5)
Т10М.0100 при массе 15475 кг	145,7(14,9)
Т10М.0110 при массе 14855 кг	

Таблица 3 – Скорость движения при изменении передачи

Передача	Скорость движения при отсутствии буксов	зания, км/ч
	(при 1250 об./мин. коленвала двигателя)	
	вперед (нормальн./ускорен.)	назад
I	2,58 / 3,07	3,01
I	3,58 / 4,26	4,17
III	5,19 / 6,19	5,06
IV	8,74 / 10,38	10,20

Таблица 4-Двигатель Д180

Эксплуатационная мощность, кВт (л.с.)	
трактор Т10М.0100	132 (180)
Коэффициент запаса крутящего момента, %	не менее 25
Удельный расход топлива при эксплуатационной	218
мощности, г/кВт-ч	
Заправочная емкость топливного бака, л	310

Таблица 5 - Ходовая система

Количество опорных катков с каждой стороны	
трактор Т10М.0100	6
трактор Т10М.0110	5
Количество поддерживающих катков с каждой	2
стороны	
Ширина башмака гусеницы, мм	500
Механизм натяжения	гидравлический
Дорожный просвет (на твердом грунте), мм	435
Средние удельное давление на грунт, МПа	
трактор Т10М.0100	0,054
трактор Т10М.0110	0,059

## 2) Рабочее место

Таблица 6 - Гидросистема навесного оборудования

Максимальное давление, МПа	
Производительность насоса НШ-100, л/мин.	180
(при 1250 об./мин. коленчатого вала двигателя)	
Заправочная емкость гидросистемы, л, не более	
- для тракторов с бульдозерно-рыхлительным оборудованием	137
- для тракторов с бульдозерным оборудованием	122

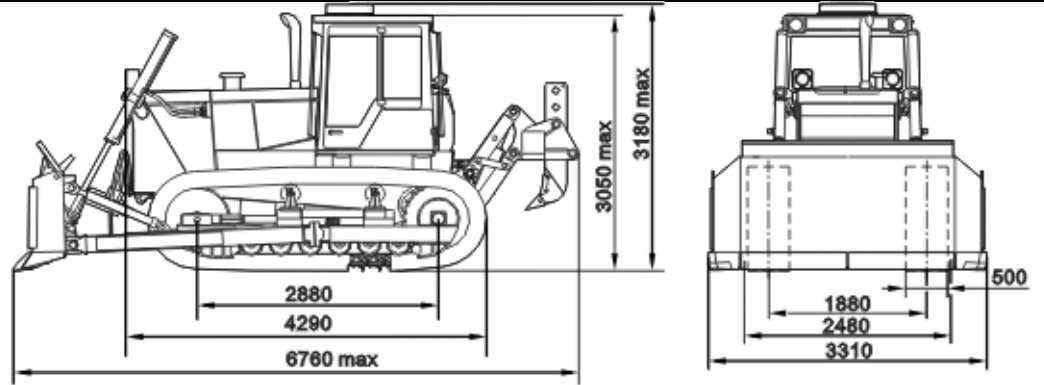


Рисунок 7- Габаритные размеры

## 1.2.2 Преимущества бульдозера Б10М

Наверно очень много людей, которые даже никак не связаны со строительством или промышленностью, знают про продукцию производства ЧТЗ. В этой статье речь пойдет о конкретной спецтехнике — Бульдозер Б10М.

Бульдозер Б10 — бульдозер 10 тягового класса с гидромеханической трансмиссией. Производительность данного бульдозера находится очень высоком уровне. Среди отечественных аналогов бульдозер этой модели считается одним из лучших и успешно конкурирует с зарубежными бульдозерами аналогичного тягового класса, причем цена на порядок ниже, чем у конкурентов.

Бульдозер Б10 выпускается только на Челябинском тракторном заводе, право на производство этих бульдозеров не продавалось и не передавалось. Данный вид бульдозера следствие планомерных изменений и дополнений бульдозера б-170. Эта модель отличается от старой более лучшим показателем производительности, более высокой скорости и улучшенным показателем маневренности. Все технические характеристики Б10М заметно улучшились.

Бульдозер Б10 прекрасно работает в любых климатических зонах: как в северных районах, так и в южных. Отлично работает на высоте до 3 тысяч метров, при высокой влажности и запыленности.

Кабина бульдозера Б10 оснащена современным оборудованием и интерьером. Кабина оснащена отопительным прибором, который использует тепло охлаждающей жидкости. В кабине Б10М очень удобно расположены рычаги управления самим бульдозером, а так же всем навесным оборудованием. Кроме этого в кабину устанавливается удобное кресло и солнцезащитная шторка. Оператор в такой кабине будет чувствовать себя очень комфортно.

В результате внесения некоторых усовершенствований в бульдозер Б-10 ООО «ЧТЗ» начал производство новых тракторов под маркой Б10М. Основное отличие бульдозера Б10М от Б10 состоит в бульдозерном отвале, который стал полусферический, благодаря чему производительность увеличилась на 20%, при разработке грунтов І — ІІІ категории плотности. Новая комплектация бульдозера, позволяет работать практически при любой погоде. Его можно эксплуатировать при температуре от -50 до +40 градусов цельсия. Кроме этого, бульдозер отличается от своего предшественника усовершенствованными техническими характеристиками и улучшенными свойствами двигателя. Бульдозер может работать на любом виде топлива, включая керосин и газоконденсат. Благодаря этому Б10М может работать практически в любом уголке мира.

#### 2 Патентное исследование

В общем случае порядок патентных исследований включает:

- определение задач патентных исследований, их видов и методов проведения;
  - определение требований к поиску патентной и другой документации;
- поиск и отбор патентной и другой документации в соответствии с утвержденным регламентом и составлении отчета о поиске;
  - систематизация и анализ отобранной документации.

Проводятся патентные исследования на различных этапах создания новой техники:

- на стадии планирования новой техники с целью определения современного уровня научно- технических достижений для выявления целесообразности включения данной схемы в план;
- в процессе разработки технической документации с целью использования имеющихся достижений при решении поставленной задачи;
- на стадии серийного производства объектов новой техники с целью контроля патентной чистоты изделия.

### 2.1 Выбор перспективной конструкции рабочего оборудования

В настоящее время, несмотря на разнообразие бульдозеров работ, проблемы, назначению выполняемых связанные виду энергосбережением в процессе копания, остаются актуальными. Наряду с непрерывным ростом парка бульдозеров постоянно осуществляются изменения их рабочего оборудования, направленные качественные увеличение производительности и снижение энергоемкости процесса копания грунта, посредством создания и внедрения новых рациональных и технических решений.

В результате проведения патентных исследований для модернизации было выбрано техническое решение, защищенное авторским свидетельством RU №1033651C1, кл.

Целью модернизации является то, что, отвал бульдозера снабжен ковшом, выполненным из расположенных перед лобовым листом отвала задней стенки, днища, к передней части которого прикреплен средний нож.

# 2.2 Описание сущности модернизации по результатам патентного исследования

1) Авторское свидетельство Заявка: 2008100340/03, 09.01.2008. Рабочее оборудование бульдозера

Авторы: Никулин Павел Иванович (RU), Чуйков Олег Владимирович (RU)

На основании проведенного патентного исследования в работе для

увеличения эффективности разработки прочных грунтов предложена следующая модернизация.

## (57) Реферат:

Изобретение относится к землеройно-транспортным машинам с рабочим органом отвального типа. Технический результат - минимизация сопротивлений резанию грунта и трению ножа о грунт. Рабочее оборудование бульдозера включает режущий нож с коробкой жесткости, гибкий элемент, выполненный в виде упругой металлической пластины, жестко прикрепленной нижним концом к режущему ножу, коробчатый отвал. В коробчатом отвале установлена упругая подушка, на которую опирается металлическая пластина и толкающие брусья. Коробчатый отвал жестко связан с коробкой жесткости.

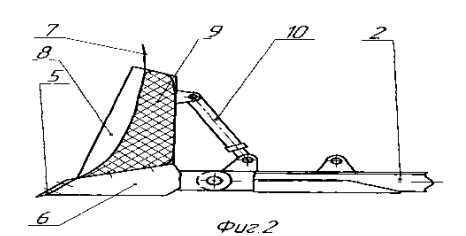


Рисунок 8 - Отвал бульдозера

2) Авторское свидетельство Заявка: 2007146471/03, 12.12.2007. Бульдозерное оборудование

Авторы: **Курилов Евгений Вячеславович** (RU), Алексеев Андрей Александрович (RU)

Изобретение относится к землеройно-транспортным машинам типа бульдозеров. Технический результат - расширение технологических возможностей оборудования путем повышения эффективности разработки плотных грунтов. Бульдозерное оборудование включает отвал, на торцах которого установлены свободно вращающиеся диски с зубчатой режущей кромкой, обращенные своей рабочей боковой поверхностью к центру отвала. На боковых рабочих поверхностях дисков закреплены шнековые лопасти с разнонаправленными спиралями витков. На торцах отвала на одной оси с режущими дисками установлены колеса с пневматическими шинами с регулируемым давлением воздуха.. 3 ил.

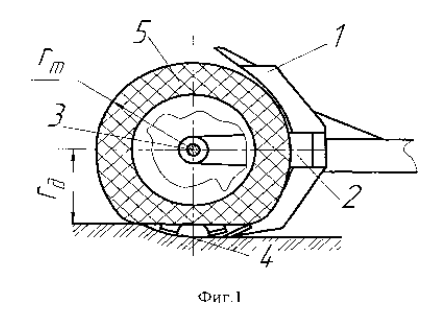


Рисунок 9 - Отвал бульдозера

3) Авторское свидетельство Заявка: 2007145964/03, 10.12.2007

Бульдозерное оборудование

Авторы: **Курилов Евгений Вячеславович** (RU),

Алексеев Андрей Александрович (RU)

(54) БУЛЬДОЗЕРНОЕ ОБОРУДОВАНИЕ

(57) Реферат:

Изобретение относится к землеройно-транспортным машинам типа бульдозеров. Технический результат - повышение производительности при работе на связных грунтах. Бульдозерное оборудование включает отвал с боковыми щеками, выполненными в виде свободно вращающихся дисков с зубчатыми режущими кромками. В центральной части отвала на одной оси с дисками установлены лопасти, диаметр которых меньше диаметра окружности впадин зубчатой режущей кромки дисков. Между дисками и лопастями соосно установлены два шнека с разнонаправленными спиралями и одинаковыми диаметрами витков. При этом лопасти выполнены большего диаметра, чем витки шнеков. 2 з.п. ф-лы, 3 ил

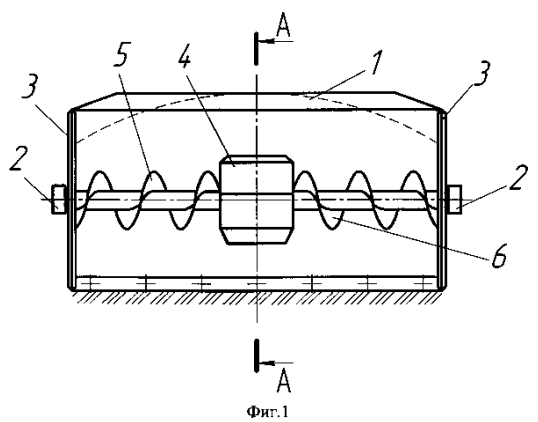


Рисунок 10 - Отвал бульдозера

## 2.3 Вывод по результатам патентного исследования

Целью данной работы является прогнозирование направлений совершенствование конкретно заданной машины (в нашем случае бульдозер Б10М). На основе изучения еè существующей конструкции, сферы применения и имеющихся недостатков еè работы.

В работе мы указали задачи и область применения бульдозеров, конструктивные особенности и процесс работы, осветили информацию о технической характеристике машины и привели в пример иллюстрации данной машины. Провели патентные исследования и предложили модернизацию данного типа машины с целью повышения производительности.

## 3 Конструкторская часть

## 3.1 Выбор основных параметров

За главный параметр бульдозеров принимается номинальное тяговое усилие трактора или тягача. За основные параметры бульдозеров приняты: эксплуатационный вес бульдозера; скорости рабочего и обратного хода; среднее удельное давление ходовой части на грунт и смещение центра давления; удельное горизонтальное и вертикальное давление на режущей кромке ножа, определяющее возможность разработки бульдозером грунтом с различным сопротивлением копанию.

Удельное горизонтальное усилие на режущей кромке  $p_r$ , кг/см, находим по формуле

$$P_{\Gamma} = \frac{T_H}{R},\tag{1}$$

где В – ширина отвала, мм

 $T_H$  — номинальное тяговое усилие, т,  $T_H$ =18 т (180 кH), Ширину отвала находим по формуле

$$B=1,4.\sqrt[3]{m},$$
 (2)

где т – масса бульдозера, т, т=21500 т.

 $B=1,4.\sqrt[3]{17.5}=3650$  мм. Принимаем B=4000 мм.

$$P_{\Gamma} = \frac{180}{4} = 45 \text{ kH/m}.$$

Из таблицы выбираем удельное вертикальное давление на режущей кромке и категорию грунта. Р<sub>в</sub>=35кH/м, категория грунта 3.

Основные параметры поперечного профиля отвала бульдозера выбираем и заносим выбранные значения в таблицу 7.

Таблица7-Основные параметры поперечного профиля отвала бульдозера.

Параметр	Отвал неповоротный	
Угол резания σ в град	55	
Угол наклона отвала ξ в град	75	
Угол опрокидывания ψ в град	70	
Задний угол α в град	33	
Угол заострения ножа β в град	22	

Угол захвата конструктивно выбираем  $\upsilon$ =45, но при конструировании угол захвата принимаем  $\upsilon$ =60.

Высота отвала H определяется силой тяги  $T_{\scriptscriptstyle H}$  и грунтовыми условиями, для которых предназначается проектируемый бульдозер. Высота отвала может быть определена:

Для бульдозера с поворотным отвалом

$$H=500.\sqrt[3]{T_H} - 5.T_H,$$
 (3)

где Т<sub>н</sub>—номинальная сила тяги бульдозера в т.

$$H=500.\sqrt[3]{18}-5.18=1220 \text{ MM}.$$

Из таблицы найдем уравнения регрессии для определения некоторых основных параметров гусеничных бульдозеров с двигателем мощностью от 25 до 310 л.с. при мощности базовой машины (Т—170) 118 кВт. Сведем полученные значения в таблицу 8.

Таблица 8 - Уравнение регрессии для определения некоторых основных параметров гусеничных бульдозеров с двигателем мощностью от 25 до 310 л. с.

Параметры	Уравнение	Значение
Тяговое усилие (номинальное) в кН	$T_{H} = (0,771,23) \bullet (93,5N)$	T <sub>H</sub> =1,23•93,5•118=135,71
Высота отвала в мм	$H=(0.811,19) \cdot (201\sqrt[3]{N})$	$H=1,156 \cdot 201 \sqrt[3]{118} = 1140$
Наибольший подъем отвала в мм Максимальное опускание отвала в мм	$h_{\text{II.o}} = (0,791,22) \cdot (208 \sqrt[3]{N})$	$h_{\text{n.o}} = 0.91 \cdot 208 \cdot \sqrt[3]{118} = 930$ $t_p = 400$
Скорость в км/ч минимальная максимальна	v <sub>min</sub> =22,75 v <sub>max</sub> =6,511,5	v <sub>min</sub> =2,51 v <sub>max</sub> =11,5
Удельное давление гусениц на грунт в кг/см <sup>2</sup> (H/м <sup>2</sup> )	P=0,350,63	P=0,5 (50000)
Вес полный кг	G=(0,771,23)•(110N)	G=1,23•110•118=15965 (17500)

Радиус кривизны поверхности отвала:

$$R = \frac{H - a\sin\sigma}{\cos\sigma + \cos\psi} \tag{4}$$

где σ-угол резанья, град;

ψ-угол опрокидывания, град.

R=1243 MM.

Угол установки отвала  $\xi$ =75,град.

Высота козырька  $H_1$ = (0,1...0,25) H

 $H_1 = 1220.0, 18 = 220 \text{ MM}.$ 

Угол установки козырька  $\psi_1$ =(90...100) град.

Примем  $\psi_1 = 95$  град.

## 3.2 Тяговый расчет

Рассмотрим вопросы тягового расчета применительно к наиболее распространенному способу работы — лобовому толканию грунта при бестраншейном способе работ.

Объем призмы волочения ( ${\rm M}^3$ ), зависит от геометрических размеров отвала и свойств грунта и определяется по формуле /5/

$$V_{np} = L \cdot H^2 / 2 \cdot k_{np} \tag{5}$$

где L—ширина отвала;

Н—высота отвала;

 $k_{np}$ —коэффициент зависящий от характера грунта и отношения H/L. Примем  $k_{np}$ =0,80.

$$V_{\text{np}}=4000.1140^2/2.0,8=3,23 \text{ m}^3.$$

При транспортировании грунта отвалом бульдозера по горизонтальной площадке возникают сопротивления, которые будем определять по формулам:

Сопротивление резанию в кН

$$W_p = k \cdot B \cdot h_1, \tag{6}$$

где k—удельное сопротивление лобовому резанию в кH/м², k=170; B— ширина отвала в м;

 $h_1$ —глубина резания во время перемещения призмы грунта (величина заглубления), которую определим по формуле:

$$h_1 = k_{\pi} \cdot V_{\pi p} / B, \tag{7}$$

где  $k_n$ —коэффициент определяющий потери грунта в боковые валики на 1м пути, он зависит от свойств грунта. Примем  $k_n$ =0,0285—для связных грунтов.

$$h_1=0,0285\cdot3,23/4=0,023 \text{ M}.$$

$$W_p=170.4.0,023=15,64 \text{ kH}.$$

Сопротивление перемещению призмы грунта перед отвалом в кН

$$W_{np} = G_{np} \cdot \mu_2, \tag{8}$$

где  $\mu_2$ —коэффициент трения грунта по грунту  $\mu_2$ =0,5;  $G_{np}$ —вес призмы волочения в H, которая определятся по формуле

$$G_{np}=V_{np}\cdot\gamma_{r}\cdot g,$$
 (9)

где  $\gamma_r$ —объемный вес грунта в плотном теле кг/м<sup>3</sup>. Примем  $\gamma_r$ =1800; g—ускорение свободного падения, g=9,81м/c<sup>2</sup>.

$$W_{np}=3,23.1800.9,81.0,5=28,52 \text{ kH}.$$

Сопротивление перемещению грунта вверх по отвалу в кН

$$W_{B} = G_{\text{no}} \cdot \cos^{2} \sigma \cdot \mu_{1}, \tag{10}$$

где  $\sigma$ —угол резания,  $\sigma$ =55;  $\mu_1$ —коэффициент трения грунта по металлу,  $\mu_1$ =0,8 (тяжелый суглинок).

$$W_B = 3,23.1800.9,81 \cdot \cos^2 55.0,8 = 15,011 \text{ kH}.$$

Сопротивление перемещению бульдозера в кН

$$W_f = G \cdot f$$
, (11)

где f—коэффициент сопротивления перемещению движителей трактора, для гусеничной машины f=0,1;

G—сила тяжести бульдозера в H, которая определяется по формуле

$$G=(1,17...1,28)\cdot G_{6M}\cdot g,$$
 (12)

где  $G_{\text{бм}}$ —вес базовой машины,  $G_{\text{бм}}$ =13630 кг. G=1,22 $\cdot$ 13630 $\cdot$ 9,81=163130 (163,13 кH),

Для бульдозеров с неповоротным отвалом суммарное сопротивление движению, кН по формуле :

$$W=W_p+W_{np}+W_B+W_f, (13)$$

Имея введу, что сопротивление грунта копанию преодолевается силой тяги базового тягача, можно написать неравенство

$$W \leq T_H$$
, (14)

где Т<sub>н</sub>—номинальная сила тяги бульдозера в кН.

$$T_{H}=G\cdot v,$$
 (15)

где υ—коэффициент сцепления грунта с гусеницами, υ=0,9.

$$T_{H}=163,13.0,9=148,82 \text{ kH},$$

Потребная мощность двигателя базовой машины л.с.(кВт) определяется по формуле

$$N = W \cdot v_{\pi} / 2700 \cdot \eta, \tag{16}$$

где  $v_{\text{д}}$ —действительная скорость движения бульдозера в км/ч,  $v_{\text{д}}$ =2,8;  $\eta$ —механическийк.п.д. машины,  $\eta$ =0,9.

$$N=75484.2,8/2700.0,9=106,6$$
 n.c. (83,15 kBt),

что составляет 70% от мощности базовой машины (118), следовательно Т—170 в качестве базовой машины подходит.

## 3.3 Расчет усилий действующих на исполнительные механизмы

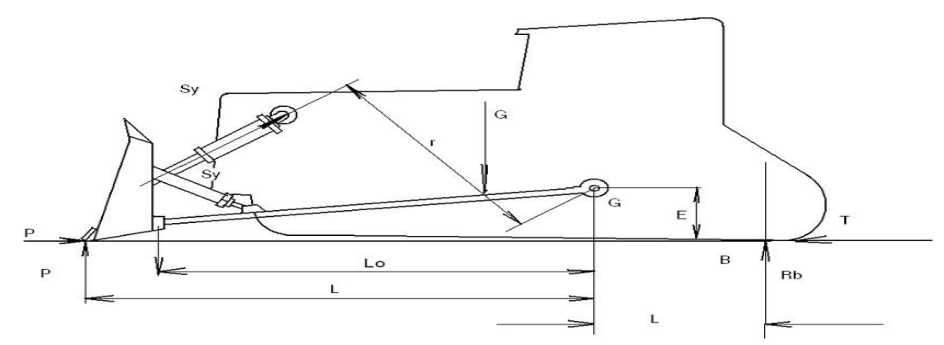


Рисунок 11- Расчетная схема для определения нагрузок действующих на бульдозерное оборудование.

На нож отвала бульдозера в плоскости действуют две силы,  $P_1$ горизонтальная и  $P_2$  вертикальная в кH, которые определяются по формулам:

$$P_1 = G \cdot v_{\text{max}} / (1 - v_{\text{max}} \cdot \text{ctg}(\sigma + v_1)), \tag{17}$$

$$P_2 = P_1 \cdot \operatorname{ctg}(\sigma + v_1), \tag{18}$$

где G—сила тяжести бульдозера в H;  $\upsilon_{max}$ —

максимальный коэффициент сцепления движителя с грунтом, принимаем  $\upsilon_{max} = 0,9;$ 

 $\sigma$ —угол резания,  $\sigma$ =55;

 $v_1$ —угол трения грунта по металлу,  $v_1$ =32.

$$P_1=163130\cdot0.9/(1-0.9\cdot\text{ctg}(55+32))=92 \text{ kH},$$

$$P_2=154100 \cdot \text{ctg}(55+32)=16,2 \text{ kH}.$$

Сила подъема отвала кН, определяются по формуле

$$S_{p}=S_{y}\cdot k_{\pi}, \qquad (19)$$

где  $S_y$ —усилие на штоках гидроцилиндров, в кH;  $k_x$ —коэффициент динамичности, принимаем  $k_x$ =1,35.

$$S_v = (P_2 \cdot l + P_1 \cdot m + G_0 \cdot l_0)/r,$$
 (20)

где G<sub>о</sub>—сила тяжести рабочего оборудования, G<sub>о</sub>=29,43кH;

1—линейный размер, 1=3,64м;

 $l_{o}$ — линейный размер,  $l_{o}$ =3,45м;

m— линейный размер, m=0,45M;

r— линейный размер, r=2,1м.

$$S_v = (16200.3,64+92000.0,45+29430.3,45)/2,1=96,14 \text{ kH};$$

$$S_p=96140.1,35=129,79 \text{ kH}.$$

## 3.4 Расчет гидросистемы

В бульдозере Т—170 используется гидравлический шестеренчатый насос НШ100—2(3). Техническую характеристику насоса НШ100—2(3) сведем в таблицу 10.

Диаметр поршня гидроцилиндра мм, с поршневой рабочей полостью определяют по формуле

$$D=[4\cdot F_1/\pi \cdot (P_1-P_2\cdot (1-\nu^2))]^{0.5}, \qquad (21)$$

где  $F_1$ —усилие на штоке, H;  $P_1$ — давление в поршневой полости,  $\Pi a$ ;  $P_2$ —давление на сливе,  $P_2$ =0,5 $\Pi a$ ;  $\upsilon$ —коэффициент отношения,  $\upsilon$ =d/D=0,3...0,7, принимаем  $\upsilon$ =0,5.

 $D=[4.95400/3,14.(16.10^6-0,5.10^6.(1-0,5^2))]^{0.5}=88.2 \text{ mm}.$ 

Таблица 10-Техническая характеристика насоса НШ100—2(3).

Параметры	Значения
Рабочий объем, см <sup>3</sup> /об	98,8
Давление на входе, МПа	
номинальное	14(16)
максимальное	17,5(20)
Давление на входе в насос, МПа	
минимальное	0,08
максимальное	0,12
Частота вращения вала, об/мин	
минимальное	960
номинальное	1500
максимальное	2000
Номинальная объемная задача, дм <sup>3</sup> /мин	139,3
Номинальная потребляемая мощность, кВт	37,5(42,8)
К.П.Д. насоса (не менее)	0,85
Объемный К.П.Д. (не менее)	0,94
Масса, кг	17,5

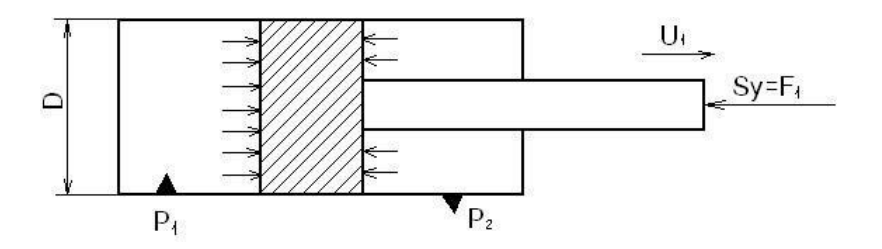


Рисунок 12- Расчетная схема гидроцилиндра с поршневой рабочей полостью.

Диаметр штока гидроцилиндра мм, определим по формуле

Расчет гидроцилиндра по обеспечению заданной скорости движения штока V.

Диаметр поршня гидроцилиндра мм, с поршневой рабочей полостью определяют по формуле

$$D_1 = [4 \cdot Q_{HJ}/\pi \cdot V]^{0.5},$$
 (23)

где  $Q_{\rm Hд}$ —расход жидкости,  $M^3$ /сек,  $Q_{\rm Hд}$ =139,3 д $M^3$ /мин (0,0023  $M^3$ /сек); V—скорость движения штока,  $M^2$ /сек.

Определим мощность гидродвигателя кВт, оп формуле

$$N_{\Gamma JB} = N_{HII}/k_{3y} \cdot k_{3c}, \qquad (24)$$

где  $N_{\text{нп}}$ —мощность насоса, кВт;  $k_{\text{зу}}$ — коэффициент запаса по усилию,  $k_{\text{зy}}$ =1,15;  $k_{\text{зc}}$ — коэффициент запаса по скорости,  $k_{\text{зc}}$ =1,2.

$$N_{\text{гдв}}$$
=42,8/1,15.1,2=31,02 кВт.

$$V = N_{\text{\tiny ГДВ}}/F_1, \tag{25}$$

$$V=31,02\cdot10^3/96,4\cdot10^3=0,33 \text{ m}^2/\text{cek},$$

$$D_1 = [4.0,0023/3,14.0,33]^{0.5} = 94.2 \text{ MM},$$

$$d_1=94,2.0,5=47,1$$
 mm.

По известным значениям диаметров поршня и штока гидроцилиндров находим их средние значения, по формулам

$$D_{cp} = (D + D_1)/2,$$
 (26)

$$d_{cp} = (d + d_1)/2.$$
 (27)

$$D_{cp}$$
=(88,2+94,2)/2=91,2 mm,

$$d_{cp}=(44,1+47,1)/2=45,6$$
 MM.

Значение υ равно отношению рабочей площади поршневой полости к площади штоковой полости, т.е.

$$v = S_{\pi}/S_{m\tau} = D_{cp}^2/(D_{cp}^2 - d_{cp}^2) = 91,2^2/(91,2^2-45,6^2) = 1,333.$$

По значению υ и диаметру поршня выбираем гидроцилиндр двухстороннего действия

номинальное давление 16 МПа,

D=100 MM,

d=63 MM

Ход поршня L=800 мм

## 3.5. Расчет отвала на прочность

На отвал действуют силы  $P_1P_2S_p$ , а также сила тяжести рабочего оборудования  $G_o$ . Определив положение центра тяжести сечения O и направление главных осей инерции сечения, (которые приведены ниже), х и z, приводим силы  $P_1P_2S_p$  к точке O и раскладываем их на составляющие х и z. B сумме эти составляющие образуют силы  $Q_x$  и  $Q_z$ в кH, которые определим по формулам

$$Q_{x} = P_{1} \cdot \cos 10 + P_{2} \cdot \cos 80 + S_{p} \cdot \cos 55, \tag{28}$$

$$Q_z = P_1 \cdot \sin 10 - P_2 \cdot \sin 80 + S_p \cdot \sin 55. \tag{29}$$

 $Q_x = 92.0,98 + 16,2.0,173 + 129,79.0,17 = 115 \text{ kH},$ 

 $Q_z=92.0,173-16,2.0,98+129,79.0,82=106,47 \text{ kH}.$ 

Силу тяжести отвала в кН рассмотрим как равномерно распределенную нагрузку которая определяется по формуле

$$q=G_o/L, (30)$$

которую также разложим на составляющие  $q_x$  и  $q_z$ в кH. q=29,43/4=7,4,  $q_x=3,7,$   $q_z=3,7.$ 

Изгибающие моменты M' и M'' определяют по формулам

$$M' = Q_x \cdot L/4 - q_x \cdot L^2/8,$$
 (31)

$$M'' = Q_z \cdot L/4 + q_z \cdot L^2/8,$$
 (32)

 $M'=115.4/4 - 3.7.4^2/8=107.6 \text{ Hm}$ 

 $M''=106,47.4/4+3,7.4^2/8=113,87 \text{ Hm}.$ 

Нормальное напряжение МПа, находят по уравнению

$$\sigma = M' \cdot x_0 / J_z + M'' \cdot z_0 / J_x , \qquad (33)$$

где  $J_z$  и  $J_x$ —главные моменты инерции  $m^4$ , определяемые как суммы моментов инерции элементарных площадок относительно главных осей сечения значения моментов инерции сведем в таблицу 11;

 $x_o$  и  $z_o$ —координаты точки сечения м, наиболее удаленной от нейтральной линии  $x_o$ =0,242,  $z_o$ =0,338.

Таблица 11-Уравнения и значения для нахождения главных моментов инерции

Уравнения для J <sub>х</sub>	Значе	Уравнения для J <sub>z</sub>	Значения
	кин		
$J_{X1} = J_{X1,1} + J_{X1,2} =$	0,0092	$J_{Z1}=J_{Z1,1}+J_{Z1,2}=$	2,6
$B \cdot h_{1,1}^3 / 12 + B \cdot h_{1,2}^3 / 12$		$=B^3 \cdot h_{1,1}/12 + B^3 \cdot h_{1,2}/12$	
$J_{X2} = J_{X2,1} + J_{X2,2} =$	0,073	$J_{Z2}=J_{Z2,1}+J_{Z2,2}=$	5,12
$=B \cdot h_{2,1}^3 / 12 + B \cdot h_{2,2}^3 / 12$		$=B^3 \cdot h_{2,1}/12 + B^3 \cdot h_{2,2}/12$	
		,	
Для четверти кольца	0	$J_{Z3} = \pi \cdot r_2^4 / 16 - \pi \cdot r_1^4 / 16$	0,01
1			
$\sum_{i}$	0,0822	$\Sigma$	7,73
			,

По формуле (33) находим

$$\sigma = 107,6.0,242/7,73 + 113,87.0,338/0,0822 = 271 \text{ M}\Pi a.$$

Крутящий момент Нм, определяем из уравнения

$$M_{K}=P_{1}\cdot h+S_{p}\cdot h_{1}-P_{2}\cdot h_{2},$$
 (34)

где h, h<sub>1</sub>, h<sub>2</sub>—плечи приложения сил м, относительно главных осей сечения h=0,618 м, h<sub>1</sub>=0,274 м, h<sub>2</sub>=0,300 м.

$$M_{\kappa} = 92.0,618 + 128,79.0,274 - 16,2.0,300 = 87,55 \text{ Hm}.$$

Моменты инерции для замкнутых профилей (1) (2) кг $\cdot$ м $^2$ , при постоянной толщине стенки определяют по формуле

$$J_{Ki}=4 \cdot F_i^2 \cdot \delta_i / s_i, \qquad (35)$$

где  $F_i$ —площадь, заключенная внутри средней линии контура м², где  $F_1$ =0,025 м²,  $F_2$ =0,099 м²;

 $6_{i}$ —толщина стенки элементов контура м, где  $6_{1}$ = $6_{2}$ =0.012;

 $s_i$ —длина средней линии элементов контура м, где  $s_1$ =0,470,  $s_2$ =0,947.

$$J_{K1} = 4.0,025^2.0,012/0,470 = 64.10^{-6} \text{ kg} \cdot \text{m}^2$$
,

$$J_{K2}=4.0,099^2.0,012/0,947=49.10^{-5} \text{ kg} \cdot \text{m}^2.$$

Момент инерции для незамкнутого профиля (3) кг·м², имеющего форму части кольца определяется по формуле

$$J_{K3} = 6_3^4/3 \cdot (s_3/6_3 - 0.63),$$
 (36)

где  $6_3=0,016$ ,  $8_3=1,332$ .

$$J_{K3}=0.016^4./3.(1.332/0.016-0.63)=18.10^{-7} \text{ K} \cdot \text{M}^2.$$

Полный момент инерции кг·м², при кручении находится как сумма моментов инерции частей сечения по формуле

$$J_{K} = J_{K1} + J_{K2} + J_{K3}, \tag{37}$$

$$J_K = 64 \cdot 10^{-6} + 49 \cdot 10^{-5} + 18 \cdot 10^{-7} = 555, 8 \cdot 10^{-6} \text{ kg} \cdot \text{m}^2.$$

Считая, что крутящий момент распределяется между частями сечения пропорционально их жесткости, определяем крутящий момент кH·м, приходящийся на каждую часть по формуле

$$M_{Ki} = (M_K/2) \cdot (J_{Ki}/J_K),$$
 (38)

$$M_{K1}$$
=(87,55/2)•(64•10<sup>-6</sup>/555,8•10<sup>-6</sup>)=5,0 кH·м,

$$M_{K2}=(87,55/2)\cdot(49\cdot10^{-5}/555,8\cdot10^{-6})=38,6$$
 кH·м,

$$M_{K3} = = (87,55/2) \cdot (18\cdot10^{-7}/555,8\cdot10^{-6}) = 1,4 \text{ kH} \cdot \text{m}.$$

Для замкнутых профилей (1) и (2) касательные напряжения МПа, определяются по формуле

$$\tau_i = M_{Ki}/2 \cdot \delta_i \cdot F_i, \tag{39}$$

$$\tau_1 = 5,0/2.0,012.0,025 = 8,4 \text{ M}\Pi a,$$

$$\tau_2 = 38,6/2.0,012.0,099 = 16,2 \text{ M}\Pi a.$$

Для незамкнутого профиля (3) касательные напряжения МПа, определяются по формуле:

$$\tau_3 = M_{K3} \cdot \delta_3 / J_{K3}$$
, (40)

$$\tau_3 = 1,4.0,016/18.10^{-7} = 1,3 \text{ M}\Pi a.$$

Определив нормальные и касательные напряжения в точках сечения, в которых они достигают своей максимальной величины, находим суммарное напряжение в этих точках и производим проверку прочности сечения по уравнению

$$\sigma_{\text{cyM}} = \left[\sigma^2 + 4 \cdot \tau^2\right]^{0.5} \leq \left[\sigma\right],\tag{41}$$

где [ $\sigma$ ]—предельно допустимое напряжение, для стали 16 ГС [ $\sigma$ ]=480 МПа, ГОСТ 19282—73.

$$\tau = 12,3+24+1,9=38,2 \text{ M}\Pi a$$

$$\sigma_{\text{cym}} \!\! = [271^2 + 4 \text{-} 38,\! 2^2\,]^{0.5} \!\! = \!\! 281 \!\! < 480.$$

Запас прочности определим по формуле

$$n=[\sigma]/\sigma_{cym}, \tag{42}$$

где n—коэффициент запаса прочности n=1,4...1,6 для сталей при статической нагрузке.

n=480/281=1,6 следовательно запас прочности сечения отвала нормальный.

## 3.6 Расчет производительности бульдозера

Производительность бульдозера м $^3$ /час, при резании и перемещении грунта определяется по формуле

$$\Pi = 3600 \cdot V_{\phi} \cdot K_{B} \cdot K_{yK\Pi} / T_{\Pi}, \tag{43}$$

где  $\kappa_{\text{в}}$ —коэффициент использования бульдозера по времени, принимаем  $\kappa_{\text{в}}$ =0,85;

 $\kappa_{y\kappa\pi}$ —коэффициент, учитывающий влияние уклона местности на производительность бульдозера, определяют по таблице 35 /1/, при угле уклона (5...10) принимаем  $\kappa_{v\kappa\pi}$ =1,64;

 $T_{\text{ц}}$ –длительность цикла в сек;

 $V_{\varphi}$ —объем грунта (в плотном теле) перед отвалом м³, определим по формуле

$$V_{\phi} = B \cdot H^2 / 2 \cdot \kappa_{\pi p} \cdot \kappa_p, \tag{44}$$

где  $\kappa_{np}$ —коэффициент зависящий от характера грунта и отношения H/L. Примем  $k_{np}$ =0,80.

 $\kappa_p$ —коэффициент разрыхления грунта, принимаем  $\kappa_p$ =1,13.

$$V_{\phi}$$
=4.1,140<sup>2</sup>/2.0,8.1,13=2,88 m<sup>3</sup>.

Длительность цикла находится по формуле/

$$T_{II} = l_{p}/v_{1} + l_{n}/v_{2} + (l_{p} + l_{n})/v_{3} + 2 \cdot t_{n} + t_{o} + t_{c},$$
(45)

где  $l_n$ —длина пути перемещения грунта в м, принимаем  $l_n\!\!=\!\!20$  м;

 $l_p$ —длина пути резания в м, принимаем  $l_p$ =8,0 м;

 $v_1$ —скорость движения бульдозера при копании грунта в м/сек, принимаем  $v_1$ =0,4 м/сек;

 $v_2$ —скорость движения бульдозера при перемещении грунта в м/сек, принимаем  $v_2$ =1 м/сек;

 $\nu_3$ —скорость обратного холостого движения трактора в м/сек, принимаем  $\nu_3$ =1,5 м/сек;

 $t_o$ —время на опускание отвала в сек, принимаем  $t_o$ =1,5 сек;  $t_c$ —время на переключение передач в сек, принимаем  $t_c$ =4,5 сек;  $t_n$ —время, необходимое для разворота в сек, принимаем  $t_n$ =10 сек.

$$T_{II}=8/0,4+20/1+(8+20)/1,5+2.20+1+5=104$$
 cek,

$$\Pi = 3600 \cdot 2,88 \cdot 0,85 \cdot 1,64/104 = 139 \text{ m}^3/\text{yac}.$$

Производительность бульдозера при планировочных работах  ${\rm M}^3/{\rm vac}$ , определяется по формуле

$$\Pi = (3600 \cdot 1 \cdot (B \cdot \sin \nu - 0.5) \cdot \kappa_B) (n \cdot (1/\nu + t_n)), \tag{46}$$

где n—число проходов по одному месту, принимаем n=2;

 $\nu$ —рабочая скорость движения трактора в м/сек (км/час), принимаем  $\nu$ =0,8(2,8);

1—длина планируемого участка в м, принимаем 1=20 м;

0,5—величина перекрытия проходов в м;

υ—угол захвата отвала.

 $\Pi = (3600 \cdot 20 \cdot (4 \cdot \sin 45 - 0.5) \cdot 0.85) / (2 \cdot (20/0.8 + 10) = 2035 \text{ m}^3/\text{yac}.$ 

#### 4 Технологическая часть

### 4.1 Описание детали

В курсовом проекте рассматривается технологический процесс изготовления детали «Крышка».

С точки зрения механической обработки деталь является технологичной, поскольку почти все поверхности открыты и доступны для обработки, а деталь является телом вращения, следовательно, большинство операций возможно сделать на универсальном токарном оборудовании без применения сложной станочной оснастки и контрольных приспособлений.

Материалом детали является сталь Ст3. Конструкционную углеродистую сталь обыкновенного качества Ст3 применяют для изготовления несущих и ненесущих элементов для сварных и несварных конструкций, а также деталей, работающих при положительных температурах. Химический состав стали (основа — железо, углерод — 0.14-0.22%) указан в таблице 12.

Таблица 12 - Химический состав стали, %

Марганец	Кремний	Медь	Мышьяк	Никель	Фосфор	Хром	Cepa
(Mn)	(Si)	(Cu)	(As)	(Ni)	(P)	(Cr)	(S)
		Не более					
0,4-0,65	0,05-0,17	0,3	0,08	0,3	0,04	0,3	0,05

Некоторые механические свойства Ст3 приведены в таблице 13.

Таблица 13 – Физико-механические свойства стали

$\sigma_{\scriptscriptstyle B}$	$\sigma_{0,2}$	δ, %	Ψ, %	НВ
МПа		0, 70	1, /0	ПБ
470	245	42	19	143179

### 4.2 Выбор метода получения заготовки

На выбор метода получения заготовки оказывают влияние: материал детали, еè назначение и технические требования на изготовление, объèм и серийность выпуска, форма поверхностей и размеры детали.

Оптимальный метод получения заготовки определяют на основании всестороннего анализа названных факторов и технико-экономического расчета технологической себестоимости детали. Метод получения заготовки, обеспечивающий технологичность изготавливаемой из неè детали, при

минимальной себестоимости последней считается оптимальным.

Т. к. деталь имеет цилиндрическую форму, то целесообразно провести способами между получения заготовки штамповкой сравнение на горизонально-ковочной машине (ГКМ) и из круглого проката.

Найдем приблизительную массу и объем детали, разбив ее на простейшие геометрические фигуры.

$$M_{\text{dem.}} = \rho \cdot V_{\text{dem.}}, \tag{47}$$

где  $\rho$  – плотность материала,  $\rho$  = 7,4·10<sup>-3</sup> кг/см<sup>3</sup>;

 $V_{\text{дет.}}$  - общий объем детали.

Общий объем детали будем находить как разность сумм объемов внешних и внутренних поверхностей. Представим упрощенную схему расчета общего объема детали (рисунок 4.1).

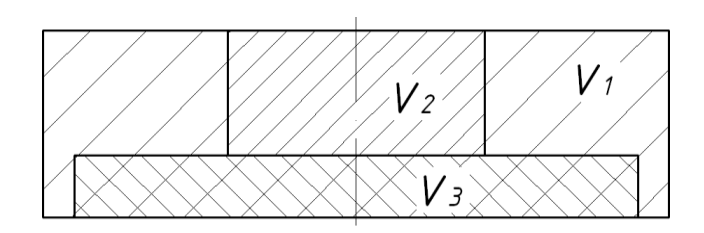


Рисунок 13 – Схема расчета объема детали

$$V_{\partial em.} = V_1 - V_2 - V_3$$

$$\tau \cdot D^2$$

$$V_1 = \frac{\Box 1}{\Delta} \cdot h_1$$
(48)

$$V_{1} = \frac{3,14 \cdot 100^{2}}{4} \cdot 30 = 235500 \text{MM}^{3}$$

$$V_{2} = \frac{\pi \cdot D^{2}}{4} \cdot h_{2}$$

$$3,14 \cdot 41^{2}$$

$$(50)$$

$$V_{2} = \frac{\square 2}{4} \cdot h_{2}$$

$$V_{2} = \frac{3,14 \cdot 41^{2}}{4} \cdot h_{2}$$

$$V_{2} = \frac{3,14 \cdot 41^{2}}{4} \cdot 20 = 26392MM$$

$$V_{3} = \frac{\square 3}{4} \cdot h_{3}$$

$$V_{3} = \frac{3,14 \cdot 90^{2}}{4} \cdot 10 = 63585MM$$

$$V_{3} = \frac{3}{4} \cdot 10 = 63585MM$$

$$V_{\partial em.} = 235500 + 26392 + 63585 = 145523 \text{ mm}^3$$

Подставив в формулу (47) соответствующие значения параметров, получим

$$M_{\partial em.} = 7.4 \cdot 10^{-3} \cdot 145523 \cdot 10^{-3} = 1.08 \kappa z$$

Ниже представлен эскиз заготовки, полученной штамповкой на ГКМ (рисунок 14):

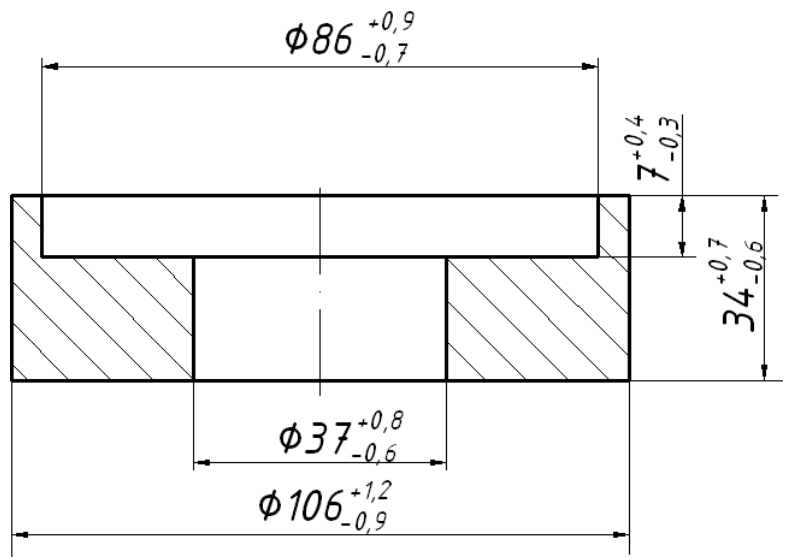


Рисунок 14 – Эскиз заготовки

Объем штампованной заготовки определим аналогично расчету объема детали:

Рисунок 
$$14$$
 — Эскиз заготовки питампованной заготовки определим аналогительной  $V_1 = \frac{\pi \cdot D^2}{V_1 = \frac{\Box 1}{4} \cdot h_1}$   $V_2 = \frac{3.14 \cdot 106^2}{V_2 = \frac{\Box 2}{4} \cdot h_2}$   $V_3 = \frac{3.14 \cdot 37^2}{V_3 = \frac{\Box 3}{4} \cdot h_3}$   $V_4 = \frac{3.14 \cdot 37^2}{V_3 = \frac{\Box 3}{4} \cdot h_3}$   $V_5 = \frac{3.14 \cdot 86^2}{V_5 = \frac{\Box 3}{4} \cdot h_5}$   $V_6 = \frac{3.14 \cdot 86^2}{V_6 = \frac{\Box 3}{4} \cdot h_6}$   $V_7 = 40641$   $V_{3az} = 299889 - 29016 - 40641 = 230232$   $V_7 = 20016$   $V_7 = 20$ 

Подставив в формулу (47) соответствующие значения параметров, получим

$$M_{3a2} = 7.4 \cdot 10^{-3} \cdot 230232 \cdot 10^{-3} = 1.7 \kappa z$$

Рассчитаем себестоимость штамповок на ГКМ.

Стоимость заготовки (С заг., тг.), получаемой методом штамповки по [3], с. 12, формула

$$C_{3az} = \frac{C_{onm}}{1000} \cdot M_{3az} \cdot K_{uh\phi}, \tag{52}$$

 $C_{\mbox{\tiny OHT}}-$  базовая стоимость одной тонны заготовок, тг;

 $M_{3ar}$  — расчетная масса спроектированной заготовки, кг;

 $K_{\text{инф}}$  – инфляционный коэффициент.

Для расчета примем  $K_{\text{инф}} = 14$ 

Согласно ценам 2019 года базовая стоимость одной тонны круглого проката из стали 3 составляет 151000 тг.

$$C_{\text{\tiny 3ac}} = \frac{151000}{1000} \cdot 1,7 \cdot 14 = 3593 mc$$

Стоимость механической обработки формула

$$C_{MO} = \frac{C_{VO}}{1000} \cdot \left( M_{3az} - M_{\partial em} \right) \cdot K_{UH\phi}, \tag{53}$$

где С<sub>чо</sub> – базовая цена черновой механической обработки одной тонны заготовок, тг.

$$C_{MO} = \frac{55000}{1000} \cdot (1,7 - 1,08) \cdot 14 = 478 me.$$

Стоимость сдаваемой стружки определяется (С отх., тг.) по [3], с. 13 формула (1.7)

$$C_{omx} = \frac{C_{cmp}}{1000} \cdot \left( M_{3az} - M_{\partial em} \right) \cdot K_{uh\phi}, \tag{54}$$

где  $C_{\rm crp}$  — заготовительная цена одной тонны стружки, тг.  $C_{\rm omx} = \frac{10500}{1000} \cdot \left(1,7-1,08\right) \cdot 14 = 90 \text{me}.$ 

$$C_{omx} = \frac{10500}{1000} \cdot (1,7-1,08) \cdot 14 = 90$$
me.

Стоимость детали (С  $_{\text{дет.}}$ , тг.) :

$$C_{\partial em.1} = C_{3az} + C_{Mo} - C_{omx}, \tag{55}$$

$$C_{\text{dem 1}} = 3593 + 478 - 90 = 3981 \text{mz}.$$

Произведèм аналогичные расчèты для случая получения заготовки из круглого проката размерами  $105 \times 34$  мм ГОСТ 2590-88.

Ниже представлен эскиз заготовки из круглого проката (рисунок 4.3).

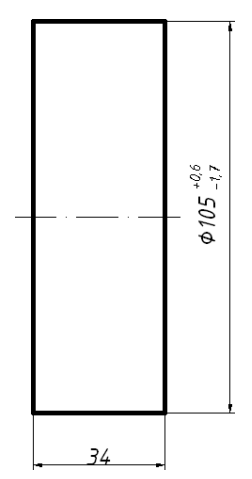


Рисунок 15 – Эскиз заготовки

Искомый объем заготовки будет равен:

$$V_{3az1} = \frac{3,14 \cdot 105^2}{2} \cdot 34 = 294257_{MM}$$

Подставив в формулу (51) соответствующие значения параметров, получим

$$M_{3a2} = 294257 \cdot 10^{-3} \cdot 7.4 \cdot 10^{-3} = 2.2 \kappa z$$

Рассчитаем себестоимость заготовок.

Стоимость заготовки (С  $_{3аг.}$ , тг.) из круглого проката рассчитаем по формуле (48)

$$C_{_{3ae}} = \frac{151000}{1000} \cdot 2.2 \cdot 14 = 4651 me$$

Стоимость механической обработки (С мо, тг.), определим по формуле

$$C_{MO} = \frac{55000}{1000} \cdot (2,2-1,08) \cdot 14 = 863 me.$$

Стоимость сдаваемой стружки (С отх. тг.) определим по формуле

$$C_{omx} = \frac{2100}{1000} \cdot (2,2-1,08) \cdot 14 = 165 me.$$

Стоимость детали (С дет.2, тг.) рассчитаем по формуле (51)

$$C_{\partial em,2} = 4651 + 863 - 165 = 5348 me$$
.

Экономический эффект для сопоставления способов получения заготовок, при котором технологический процесс механической обработки не меняется, может быть рассчитан по [3], с. 13.

$$\mathcal{G} = C_{\partial em.2} - C_{\partial em.1} \tag{56}$$

9 = 5348 - 3981 = 1367 me

Технико-экономические расчеты показывают, что заготовка, полученная штамповкой на ГКМ, более экономична в использовании. Поэтому для изготовления детали «Крышка» будем использовать заготовку, полученную штамповкой на ГКМ.

# 4.3 Разработка технологического маршрута обработки детали «Крышка»

Технологический процесс можно разделить на несколько этапов. Для данной детали, имеющей высокие требования к точности размеров, относительному расположению поверхностей и шероховатости. Целесообразность разбивки технологического процесса на несколько этапов обуславливается необходимостью получения заданных параметров детали, а также наиболее рациональным использованием оборудования.

На основании назначенных в п. 5 методов обработки (рисунок 5.1), технологический процесс разделим на этапы обработки по каждой поверхности, результаты занесем в таблицу 7.1.

Таблица 14 - Методы обработки

Обрабатываемая поверхность	Этапы обработки
1	Черновой, чистовой
2	Черновой, чистовой
3	Черновой, чистовой
4	Черновой, чистовой
5	Черновой, чистовой
6	Черновой, чистовой
7	Черновой, чистовой
8	Черновой, чистовой
9	Черновой, чистовой

Обработка поверхностей заготовки будет проводиться в порядке от более грубых методов к более точным. Последний метод обработки по параметрам точности и качества должен соответствовать требованиям чертежа.

Поверхность 1 – черновое точение;

Поверхность 3 – черновое точение;

Поверхность 4 – черновое точение;

Поверхность 5 – черновое растачивание;

Поверхность 2 – черновое точение;

Поверхность 6 – черновое растачивание;

Поверхность 7 – черновое растачивание;

Поверхность 1 – чистовое точение;

Поверхность 3 – чистовое точение;

Поверхность 4 – чистовое точение;

Поверхность 5 – чистовое точение;

Поверхность 2 – чистовое точение;

Поверхность 6 – чистовое растачивание;

Поверхность 7 – чистовое растачивание;

Поверхность 8 – сверление;

Поверхность 9 – сверление;

Поверхность 8 – нарезание резьбы;

Поверхность 9 – нарезание резьбы.

На основании всего ранее изложенного, проектируем маршрутный технологический процесс.

Операция заготовительная

Заготовка – штамповка на ГКМ.

Операция 05 Токарная

Производится подрезка торца, точение и растачивание поверхностей с припуском под последующую чистовую обработку.

Оборудование – токарно-винторезный станок 16K20. Обработка ведèтся в трèхкулачковом самоцентрирующемся патроне.

Инструмент – резцы с пластинами из сплава ВК8.

Шероховатость поверхности Ra = 6,3 мкм.

Операция 10 Токарная с ЧПУ

Производится подрезка торца, точение и растачивание поверхностей с припуском под последующую чистовую обработку.

Оборудование – токарный станок с ЧПУ 16A20Ф3. Обработка ведèтся в трèхкулачковом самоцентрирующемся патроне.

Инструмент – резцы с пластинами из сплава ВК8.

Шероховатость поверхности Ra = 6,3 мкм.

Операция 15 Токарная с ЧПУ

Производится чистовая обработка поверхностей по программе.

Оборудование – токарный станок с ЧПУ 16A20Ф3. Обработка ведèтся в трèхкулачковом самоцентрирующемся патроне.

Инструмент – резцы с пластинами из сплава ВК8.

Шероховатость поверхности Ra = 3,2 мкм.

Операция 20 Токарная с ЧПУ

Производится чистовая обработка поверхностей по программе.

Оборудование – токарный станок с ЧПУ 16A20Ф3. Обработка ведèтся в трèхкулачковом самоцентрирующемся патроне.

Инструмент – резцы с пластинами из сплава ВК8.

Шероховатость поверхности Ra = 3,2 мкм.

Операция 25 Сверлильная

Производится сверление и нарезание резьбы в двух отверстиях

Оборудование — вертикально-сверлильный станок 2H150. Обработка ведётся в специальном приспособлении.

Инструмент – сверла и метчики из быстрорежущей стали P6M5.

Шероховатость поверхности Ra = 6,3 мкм.

Операция 30 Контроль окончательный

Производится окончательный контроль всех размеров детали.

Оборудование – стол ОТК.

### 4.4 Расчет режимов резания

При назначении режимов резания учитывают характер обработки, тип и размеры инструмента, материал его режущей части, материал и состояние заготовки, тип и состояние оборудования.

Элементы режима резания обычно устанавливают в порядке, указанном ниже:

Глубину резания t при черновой обработке назначают по возможности максимальную глубину резания, равную всему припуску на обработку или большей части его. При чистовой обработке — в зависимости от требований точности размеров и шероховатости обработанной поверхности.

Подачу в при черновой обработке выбирают максимально возможную, исходя из мощности и жèсткости системы СПИЗ, мощности привода станка, прочности твердосплавной пластинки и других ограничивающих факторов; при чистовой обработке — в зависимости от требований точности и шероховатости обработанной поверхности.

Скорость резания при продольном и поперечном точении и растачивании рассчитывают по [5], с. 265:

$$v = \frac{Cv}{T^m \cdot t^x \cdot s^y} \bigsqcup_{v} , K$$
 (57)

где T — период стойкости инструмента, мин; t — глубина резания, мм;

s – подача, мм/об;

 $K_{v}$  – поправочный коэффициент.

Значения  $C_v$  и показателей степени (m, x, y) берутся из [5], с. 269, таблица 17.

$$K_{v} = K_{mv} \cdot K_{nv} \cdot K_{uv}, \qquad (58)$$

где  $K_{MV}$  – коэффициент, учитывающий качество обрабатываемого материала ([5], с. 261-263;

 $K_{\rm nv}$  – коэффициент, отражающий качество поверхности заготовки ([5], с. 263);

 $K_{\rm uv}$  – коэффициент, учитывающий качество материала инструмента, ([5], с. 263,).

Силу резания, принято раскладывать на составляющие силы, направленные по осям координат станка (тангенциальную  $P_z$ , радиальную  $P_y$ , осевую  $P_x$ ). При наружном продольном и поперечном точении, растачивании, отрезании, прорезании пазов, фасонном точении эти составляющие рассчитывают по [5], с. 27.

$$P_{x, y, z} = 10 \cdot C_p \cdot t^x \cdot s^y \cdot v^n \cdot K_p, \qquad (59)$$

где t - глубина резания, мм;

s — подача, мм/мин;

v - скорость резания, м/мин;

 $K_p$  – поправочный коэффициент.

Постоянная  $C_p$  и показатели степени (x, y, n) берутся из [5], с. 273.

$$K_{p} = K_{mp} \cdot K_{\varphi_{p}} \cdot K_{\lambda_{p}} \cdot K_{vp} \cdot K_{rp}, \tag{60}$$

где  $K_{\text{мр}}$  - коэффициент, учитывающий качество обрабатываемого материала на силовые зависимости ([5], с. 264, таблица 9);

 $K_{yp}$ ,  $K_{\phi p}$ ,  $K_{\chi p}$ ,  $K_{rp}$  — коэффициенты учитывающие влияние геометрических параметров режущей части на составляющие силы резания ([5], с. 275).

Мощность резания N, кВт, рассчитывают по [5], с. 271, формула (4.6).

$$N = \frac{P_z \cdot v}{1020 \cdot 60},\tag{61}$$

где  $P_z$  – осевая составляющая силы резания, H;

v – скорость резания, м/мин.

Число оборотов станка n, об/мин рассчитывается по формуле:

$$n = \frac{1000 \cdot v}{\pi \cdot D},\tag{62}$$

v – скорость резания, м/мин;

D – наибольший диаметр обрабатываемой поверхности, мм.

Произведем расчет режимов резания для токарной операции 10.

Выбираем токарный проходной резец с пластинами ВК8 по ГОСТ 18877-

73.

Оборудование – токарно-винторезный станок 16К20.

Переход №1

Подрезать торец.

Снимаемый припуск – 1,2 мм.

Принимаем глубину резания t = 1,2 мм.

Принимаем по [5], с. 269, таблица 17,  $C_v = 215$ , x = 0.15, y = 0.45, m = 0.2.

Принимаем по [5], с. 266, таблица 11, T = 60 мин; S = 0.6 мм/об.

Принимаем по [5], с. 262-263, таблицы 3, 5, 6,  $K_{mv} = 0.8$ ,  $K_{nv} = 0.8$ ,  $K_{nv} = 1$ (при точении резцом с пластинами ВК8).

Подставляя полученные значения в формулы (53), (52), получим:

$$K_v = 0.8 \cdot 0.8 \cdot 1 = 0.64$$

Скорость резания: 
$$v = \frac{215}{60^{0,2} \cdot 1, 2^{0,15} \cdot 0, 6^{0,45}} \cdot 0,64 = \frac{137,6}{1,85} = 73,4 \text{м/мин}$$

Рассчитываем по формуле (10.6) число оборотов станка.

$$n = \frac{1000 \cdot 73,4}{3,14 \cdot 108,5} = 21506$$
 / мин

Принимаем по паспорту станка n = 215 об/мин.

Тогда скорость резания будет равна:

$$v = \frac{\pi \cdot D \cdot n}{1000} = \frac{3,14 \cdot 108,5 \cdot 215}{1000} = 73,2$$
m/ мин

Принимаем по [5], с. 275, таблица 23,  $K_{\upsilon p}=1$ ;  $K_{\lambda p}=1$ ;  $K_{yp}=1$ ;  $K_{rp}=0.93$ . Принимаем по [5], с. 264, таблица 9.

$$\mathbf{K}_{\mathrm{Mp}} = \left(\frac{\sigma}{\frac{B}{750}}\right)^{n},\tag{63}$$

где  $\sigma_{\rm B}$  – предел прочности обрабатываемого материала, ( $\sigma_{\rm B}$  = 470 MПа);

n -показатель степени (n = 0.75).

$$K_{\text{Mp}} = \left(\frac{470}{750}\right)^{0.75} = 0.71$$

Подставим численные значения в формулу

$$K_p = 0.71 \cdot 1 \cdot 1 \cdot 1 \cdot 0,93 = 0.66$$

Принимаем по [5], с. 273, таблица 22,  $C_p = 300$ ; x = 1; y = 0.75; n = -0.15. Рассчитываем по формуле (10.3) силу резания:

$$P_7 = 10 \cdot 300 \cdot 1,2^1 \cdot 0,6^{0,75} \cdot 73,2^{-0,15} \cdot 0,66 = 851H$$

Рассчитываем по формуле (56) мощность резания:

$$N = \frac{851 \cdot 73,2}{1020 \cdot 60} = 1,02\kappa Bm$$

Сделаем проверку:

 $N_{\text{peз.}} \leq N_{\text{дв.}} \cdot \eta$ 

 $1,02 < 11 \cdot 0.8$ 

1,02 < 8,8

Сравнив рассчитанную мощность с мощностью главного электропривода станка  $N=11~\mathrm{kBt}$ , можно сделать вывод, что выбранный станок обеспечивает требуемую мощность.

Переход №2

Точить поверхность.

Выбираем токарный проходной резец с пластинами ВК8 по ГОСТ 18877-73.

Снимаемый припуск -2,5 мм.

Принимаем глубину резания на первом проходе  $t=1,5\,$  мм, на втором проходе  $t=1\,$  мм.

Принимаем по [5], с. 269, таблица 17,  $C_v = 215$ , x = 0.15, y = 0.45, m = 0.2.

Принимаем по [5], с. 266, таблица 11, T = 60 мин; S = 0.8 мм/об.

Принимаем по [5], с. 262-263, таблицы 3, 5, 6,  $K_{mv}$  = 0,8,  $K_{nv}$  = 0,8,  $K_{uv}$  = 1 (при точении резцом с пластинами ВК8).

Подставляя полученные значения в формулы (53), (52), получим:

$$K_v = 0.8 \cdot 0.8 \cdot 1 = 0.64$$

Скорость резания на первом проходе:

$$v = \frac{215}{60^{0.2} \cdot 1.5^{0.15} \cdot 0.8^{0.45}} \cdot 0.64 = 63.5$$
м / мин

Скорость резания на втором проходе:

$$v = \frac{215}{60^{0,2} \cdot 1^{0,15} \cdot 0.8^{0,45}} \cdot 0,64 = 55,6$$
м /мин

Рассчитываем по формуле (10.6) число оборотов станка. Число оборотов на первом проходе:

$$n = \frac{1000 \cdot 63,5}{3,14 \cdot 108,5} = 186 o \delta$$
 /мин

Число оборотов на втором проходе:

$$n = \frac{1000 \cdot 55,6}{3,14 \cdot 107} = 16506$$
 / мин

Принимаем по паспорту станка n = 180 об/мин. Тогда скорость резания будет равна:

$$v = \frac{\pi \cdot D \cdot n}{1000} = \frac{3,14 \cdot 108,5 \cdot 180}{1000} = 61,3$$
 мин.

Принимаем по [5], с. 275.  $K_{\nu p}=1$ ;  $K_{\lambda p}=1,15$ ;  $K_{yp}=1$ ;  $K_{rp}=0,93$ . Принимаем по [5], с. 264.

$$K_{\text{Mp}} = \left(\frac{470}{750}\right)^{0.75} = 0.71$$

Подставим численные значения в формулу

$$K_p = 0.71 \cdot 1 \cdot 1, 1 \cdot 1 \cdot 0,93 = 0.66$$

Принимаем по [5], с. 273  $C_p = 300$ ; x = 1; y = 0,75; n = -0,15. Рассчитываем по формуле (54) силу резания:

$$P_7 = 10 \cdot 300 \cdot 1,5^1 \cdot 0,8^{0,75} \cdot 61,3^{-0,15} \cdot 0,66 = 1357 H$$

Рассчитываем по формуле (10.5) мощность резания:

$$N = \frac{1357 \cdot 61{,}3}{1020 \cdot 60} = 1{,}4\kappa Bm$$

Сделаем проверку:

$$N_{\text{pes.}} \le N_{\text{дв.}} \cdot \eta$$
  
1,4 < 11 · 0,8  
1,4 < 8,8

Произведем расчет режимов резания для сверлильной операции № 2Переход № 1. Сверление двух отверстий Ø 7 мм.

При обработке сверлом диаметром D=7 мм рекомендуемая величина подачи s=0,15 мм/об [5], с. 277, таблица 25.

Крутящий момент  $M_{\kappa p}$ ,  $H \cdot M$  определим по формуле [5], с. 277:

$$M_{\kappa p} = 10 \cdot C_M \cdot D^q \cdot s^y \cdot K_p$$
 ,

где  $C_M$ , q, y — соответственно коэффициент и показатели степени, определяемые по таблице 32 [5], c. 281;

 $K_p$  — коэффициент, учитывающий фактические условия обработки, в данном случае зависит только от материала обрабатываемой детали и определяется выражением [5], с. 264, таблица 9:

$$K_{p} = K_{Mp};$$

$$K_{Mp} = \left( \begin{array}{c} \sigma_{B} \\ -750 \end{array} \right)^{n};$$

где  $\sigma_B$  – предел прочности обрабатываемого материала при растяжении,  $\sigma_B$  = 290 МПа [6], с. 87, таблица 5;

n- показатель степени, определяемый по таблице 9 [5], с. 264,  $n=0{,}75$ 

$$K_{Mp} = \left| \left( \frac{750}{750} \right)^{0.75} = 0.49 ;$$

$$M_{Kp} = 10 \cdot 0.0345 \cdot 7^2 \cdot 0.15^{0.8} \cdot 0.49 = 1.82 \text{ H} \cdot \text{M}$$

Осевую силу  $P_0$ , H определим по формуле [5], c. 277:

$$P_0 = 10 \cdot C_p \cdot D^q \cdot s^y \cdot K_p ;$$
 
$$P_0 = 10 \cdot 68 \cdot 7^1 \cdot 0,15^{0,7} \cdot 0,49 = 618 H$$

Окружную силу  $P_Z$  определим по формуле [7], формула 4:

$$P_Z = 0.9 \cdot \sigma_B \cdot s_Z \cdot t \cdot (1 + ctg \theta), \tag{64}$$

где  $s_Z$  – подача на зуб сверла, определяемая по формуле [7], формула 11:

$$s_Z = \frac{a}{\sin \varphi},$$

где а – толщина среза (стружки), определяемая по формуле [8], с. 93:

$$a = \frac{s}{2}$$

$$a = \frac{0.15}{2} = 0.075 \text{ mm};$$

 $\varphi$  – угол при вершине сверла,  $\varphi$  = 60°;

$$s_Z = \frac{0.075}{0.87} = 0.086 \text{ mm/зу6}$$

t – глубина резания, определяемая по формуле [8], с. 94:

$$t = \frac{D}{2} = 3.5 \text{ MM};$$

 $\theta$  – угол скалывания, который можно принять [7], формула 3:

$$\theta = 25^{\square} + \gamma_N$$
,

где  $\gamma_N$  – передний угол в нормальной секущей плоскости, примем  $\gamma_N$  = 14° [9], с. 31, таблица 2

$$\theta = 25^{\square}$$
 =  $39^{\square}$ 

Подставляя полученные значения в формулу (59), имеем:

$$P_Z = 0.9 \cdot 290 \cdot 0.086 \cdot 3.5 \cdot (1+1.24) = 176 \text{ H}$$

Скорость резания определим по формуле с. 233 [5]:

$$\upsilon = \frac{C_{\upsilon} \cdot D^{q}}{T^{m} \cdot s^{y}}; \tag{65}$$

где  $C_{\upsilon}$  – коэффициент, определяемый по таблице 28, с. 278 [5];  $C_{\upsilon}$  = 7; q, m, y – показатели степени, определяемые по таблице 28, с. 278 [5];

$$q = 0.4$$
,  $m = 0.2$ ,  $y = 0.7$ .

$$\upsilon = \frac{7 \cdot 7^{0,4}}{120^{0,2} \cdot 0,15^{0,7}} = \frac{15,2}{0,7} = 21,7 \text{ м/мин}$$

Частота вращения сверла, п, об/мин:

$$n = \frac{1000 \times v}{\pi \times D}; \tag{66}$$

$$n = \frac{1000 \times 21,7}{3,14 \times 7} = \frac{21700}{21,98} = 987$$
 об/мин.

Мощность резания определим по формуле с. 280 [5]:

$$N = \frac{M_{\kappa p} \cdot n}{9750} \tag{67}$$

$$N = \frac{1,82 \cdot 987}{9750} = 0,18 \text{ kBT}$$

Т. к. производится обработка одновременно двух отверстий, требуется полученное значение мощности резания увеличить в два раза, т. е.  $N=0.36~\mathrm{kBt}$  Выполним проверку:

$$N_{\text{pes.}} \le N_{\text{дв.}} \eta$$
 $0.36 < 7.5 \cdot$ 
 $0.8$ 
 $0.36 < 6$ 

Сравнив рассчитанную мощность с мощностью двигателя главного привода станка, можно сделать вывод, что выбранный станок обеспечивает требуемую мощность при обработке.

Переход № 2. Нарезать резьбу М8 в двух отверстиях.

Скорость резания при нарезании метрической резьбы метчиками определяется по формуле [5], с. 297:

$$\upsilon = \frac{C_{\upsilon} \cdot D^{q}}{T^{m} \cdot s^{y}} K^{\upsilon} \tag{68}$$

где  $C_{\upsilon}$  — коэффициент, определяемый по таблице 49, с. 296 [5];  $C_{\upsilon}$  = 64,8;

q, m, y — показатели степени, определяемые по таблице 28, c. 278 [5]; q = 1,2, m = 0,9, y = 0,5.

T — среднее значение периода стойкости машинного метчика, T=90 мин.  $K_{\upsilon}$  — общий поправочный коэффициент, определяемый по формуле [5], с. 297:

$$K_{\mathcal{U}} = K_{M\Gamma} \cdot K_{M\Gamma} \cdot K_{T\Gamma} \tag{69}$$

где  $K_{M\Gamma}$  — поправочный коэффициент на скорость резания в зависимости от обрабатываемого материала, согласно таблице 50, с. 298, [5]:  $K_{M\Gamma} = 0.7$ ;

 $K_{\text{ИГ}}$  — поправочный коэффициент на скорость резания в зависимости от марки инструментального материала, согласно таблице 50, с. 298, [5] для P6M5:  $K_{\text{ИГ}}$  = 1;

 $K_{T\Gamma}$  — поправочный коэффициент на скорость резания в зависимости от класса точности резьбы, согласно таблице 50, с. 298, [5] для среднего класса:  $K_{T\Gamma}=1,1$ .

$$K_{\upsilon} = 0.7 \cdot 1 \cdot 1.1 = 0.77$$
 
$$\upsilon = \frac{64.8 \cdot 8^{1.2}}{90^{0.9} \cdot 1^{0.5}} \cdot 0.77 = \frac{605}{57.4} = 10.5 \text{м ин}$$

Крутящий момент при нарезании резьбы метчиками определяется по формуле [5], с. 297:

$$M_{\kappa p} = 10 \cdot C_M \cdot D^q \cdot P^{\mathcal{Y}} \cdot K_p \tag{70}$$

где P - шаг резьбы, P = 1 мм;

 $C_M$  — коэффициент, определяемый по таблице 51, с. 298 [5];  $C_M$  = 0,0270; q, y — показатели степени, определяемые по таблице 51, с. 298 [5]; q = 1,4, y = 1,5;

 $K_p = K_{Mp}, K_{Mp}$  — поправочный коэффициент на крутящий момент, согласно таблице 50, с. 298, [5]  $K_{Mp} = 1,3$ .

$$M_{kp} = 10 \cdot 0.0270 \cdot 8^{1.4} \cdot 1^{1.5} \cdot 1.3 = 6.45 \text{ H} \cdot \text{M}$$

Частоту вращения метчика определим по формуле (10.6):

$$n = \frac{1000 \cdot 10,5}{3,14 \cdot 8} = 41806 / \text{мин}$$

Мощность при нарезании резьбы определим по формуле:

$$N = \frac{6,45 \cdot 418}{975} = 2,8\kappa Bm$$

Т. к. производится обработка одновременно двух отверстий, полученное значение мощности резания требуется увеличить в два раза, т. е. N = 5.6 кВт.

$$N_{\text{pe3.}} \leq N_{\text{дв}} \eta$$
 $5,6 < 7,5 \cdot$ 
 $0,8$ 
 $5,6 < 6$ 

#### 4.5 Расчет припусков

Припуск - слой материала, удаляемый с поверхности заготовки в целях достижения заданных свойств обрабатываемой поверхности детали.

Припуск на обработку поверхностей детали может быть назначен по соответствующим справочным таблицам, ГОСТам или на основе расчетно-аналитического метода определения припусков.

Минимальный припуск определяется по формуле табл.4.2 [5] с.62, мкм:

$$2Z_{i \min} = 2 \cdot [(R_z + h)_{i-1} + \sqrt{\rho^2 + \varepsilon^2}_{i_{i-1}}],$$
 (71)

где  $R_{z_{i-1}}$  — высота неровностей профиля на предшествующем переходе , определяется по справочнику [6] табл.5 , для соответствующей операции ;

 $h_{i-1}$  — глубина дефектного поверхностного слоя на предшествующем переходе определяется по справочнику [6] табл.5 , аналогично  $R_{z_i}$ 

 $ho_{i_{i-1}}$  - суммарное пространственное отклонение определяем по формуле (для заготовки ), мкм, определяется по формуле 1.15:

$$\rho_{\partial em} = \sqrt{\Omega_{\kappa op}^2 + \rho_{\kappa op}^2} , \qquad (72)$$

где  $\rho_{\text{см}}$  - смещение осей отливок, отверстия как в диаметральном, так и в осевом направлении, мкм .

При обработке корпусной детали с базированием ее по отверстиям с параллельными осями и плоскости, перпендикулярной к ним это смещение принимают равным допуску на смещение осей отверстий.

$$\rho_{cM} = \delta$$

$$\rho_{cM} = 0.310 \cdot 2 = 0.62$$

 $\rho_{\text{кор}}$  - коробление отверстия как в диаметральном , так и в осевом направлении, мкм . [6] , с.192

$$\rho_{\text{\tiny KOD}} = \Delta_{\kappa} \cdot l \,, \tag{73}$$

где  $\Delta_{\rm K}$ - удельная величина коробления, мкм/мм, по табл.22[6], с.192  $\Delta_{\rm K}$ =0,7-1 , принимаем 1 ,

1-наибольший размер заготовки тогда:

$$\rho_{\kappa op} = 1.185 = 185 \text{ MKM}$$

$$\rho = \sqrt{620^2 \cdot 185^2} = 650$$
MKM

После сверления отверстия в заготовке имеем следующее пространственное суммарное отклонение, определяется по формуле 1.17,мкм:

$$\rho_{\partial em} = \sqrt{\left(\Delta_{\dot{y}} l\right)^2 + C_0^2}, \qquad (74)$$

где  $\Delta_{v}$ - удельное значение увода оси , мкм/мм;

1-длина отверстия, мм;

 $C_0$ -смещение оси отверстия, мкм.

По таблице 25 [6] с. 196:

$$\rho_{\partial em} = \sqrt{(1,7\cdot11)^2 + 15^2} = 24$$
 .MKM

Для каждой последующей операции , остаточное коробление составит, мкм:

$$\rho = \rho_{3az} \cdot \kappa_{ymoчH} \tag{75}$$

где  $\kappa_{\text{уточн}}$ - коэффициент уточнения формы , определяется по рекомендациям табл.22[5] с.73

 $\varepsilon_i$  – суммарная погрешность определяется по формуле, мкм:

Погрешность установки определяем по формуле 1.18 [9, с. 74]):

$$\varepsilon = \sqrt{\varepsilon_{\delta}^2 + \varepsilon_{3}^2} , \qquad (76)$$

где  $\epsilon \delta$  – погрешность базирования, имеет место при не совмещении установочной и технологической баз,  $\epsilon \delta = 0$ .

єз – погрешность закрепления, мкм: по табице 4.10. [9]

 $\varepsilon = 120 \text{ MKM}.$ 

На всех остальных переходах  $\varepsilon=0$ , так как обработка ведется за один установ.

Технологический маршрут обработки отверстия определяем, согласно рекомендациям таблице 7,[9], он состоит из следующих операций:

- 1) Сверление
- 2) Зенкерование
- 3) Развертывание

Суммарное значение пространственных отклонений для заготовки:

Для операций зенкерование :  $\Delta_3 = 0.05$ ,

развертывание :  $\Delta_4$ =0,002.

$$\rho_3 = 24 \times 0.05 = 0.12 \text{MKM};$$

$$\rho_4 = 0.12 \times 0.002 = 0.00024$$
 MKM;

Значения параметра шероховатости Rz и глубина дефектного слоя h для всех технологических переходов обработки поверхности назначаем по таблицам 4.3 и 4.5 [6]. На основании записанных в таблице данных производим расчет минимальных значений межоперационных припусков, пользуясь основной формулой, тогда минимальный припуск будет равен:

для сверления:

$$2Z_{i \text{ min}} = 2 \cdot [(320 + 260) + \sqrt{650_2 + 120_{\frac{1}{2}}} = 2 \times 1240 \text{mkm},$$

для зенкерования:

$$2Z_{i \min} = 2 \cdot [(40+60) + \sqrt{24^2 + 0}] = 2 \times 124 \text{MKM}$$
,

для развертывания

$$2Z_{i \min} = 2 \cdot [(30+30) + \sqrt{0.12^2 + 0}] = 2 \times 60.12 \text{MKM}$$

Значение припусков занесем в таблицу 16.

В графе расчетный размер значения диаметров определяются следующим образом:

$$d_{pi} = d_{i+1} - 2 \cdot Z_{i+1} \tag{77}$$

зенкерование-  $d_{Pacq} = 12,027 - 2 * 0,061 = 11,905$  сверление -  $d_{Pacq} = 11,905 - 2 * 0,124 = 11,657$ .

В графе предельный размер наибольшее значение получается по расчетным размерам, округленным до точности допуска соответствующего перехода.

Минимальное значение предельного размера получается из максимального, за вычетом соответствующего допуска :

$$d_{\min} = d_{\max} - \delta \tag{78}$$

зенкерование-  $d_{\text{мин1}} = 11,905 - 0,043 = 11,862$  сверление -  $d_{\text{мин2}} = 11,657 - 0,18 = 11,477$ .

Максимальные предельные значения припусков  $Z_{\min}^{np}$  равны разности наибольших предельных размеров выполняемого и предшествующего переходов, а максимальные значения  $Z_{\max}^{np}$  — соответственно разности наибольших предельных размеров.

$$2Z_{\min}^{np} = d_{\min_{i-1}} \square_{\min_{i}} \mathcal{J}$$
 (79)

$$2Z_{\max}^{np} = d_{\max_{i-1}} \bigsqcup_{\max_{i}} d$$
 (80)

для зенкерования:

$$2Z_{\min}^{np} = 12,027 - 11,905 = 0,122 \,\text{MM};$$

для развертывания:

$$2Z_{\min}^{np} = 11,905 - 11,657 = 0,248$$
MM;

$$2Z_{\text{max}}^{np} = 11,862-11,477 = 0,385$$
MM

Общие номинальные припуски определяем, суммируя промежуточные припуски, и записываем их значения внизу соответствующих граф.

Общие номинальные припуски определяем, суммируя промежуточные припуски, и записываем их значения внизу соответствующих граф.

$$2Z_{o \text{ min}} = 122 + 248 = 370 \text{ MKM}; 2Z_{o \text{ max}} = 138 + 385 = 523 \text{ MKM};$$

По рассчитанным данным строим схему расположения полей допусков. Производим проверку правильности выполненных расчетов:

$$2Z_{\text{max}}^{np} - 2Z_{\text{min}}^{np} = \mathcal{S}_{d_{i-1}} - \mathcal{S}_{d_i}$$
 (81)  
 $385 - 248 = 180 - 43 = 137$  мкм, верно;  
 $138 - 122 = 43 - 27 = 16$  мкм, верно;

Значение припусков занесем в таблицу 1.18, схема расположения полей допусков по расчетному размеру представлена на рисунке 1.4.

Таблица 15- Аналитический расчет припусков

Технологи- ческие переходы	Элементы припуска и					Т,	Предельные размеры		Предельные припуски	
обработки диаметра 60мм	Rz	h	ΔΣ	2Zi min, MKM	D min, <sub>MM</sub>	MKM	Dmax мм	Dmin	Zmax мм	Zmin
Заготовка: Отливка	320	260	650	-	-	-	-	-	-	-
43енкерован. черновое	40	60	24	120	2	1240	11,657	180	11.477	11.657
Зенкерован. чистовое	30	30	0.12	-	2	124	11.905	43	11.862	11.905
Развертыван. нормальное	6,4	10	24	10,5	60,1	2,027	27	12,027	-	22

#### **ЗАКЛЮЧЕНИЕ**

В процессе выполнения дипломной работы мы изучили возможные конструкции бульдозеров, а также классификацию бульдозеров по различным признакам и параметрам также провели патентный обзор.

Кроме этого выбрали и рассчитали основные параметры бульдозера, скорректировали их по стандартным значениям. Произвели тяговый расчет бульдозера, в итоге которого выяснили, что тягового усилия, развиваемого бульдозером, достаточно для выполнения работы в заданных условиях.

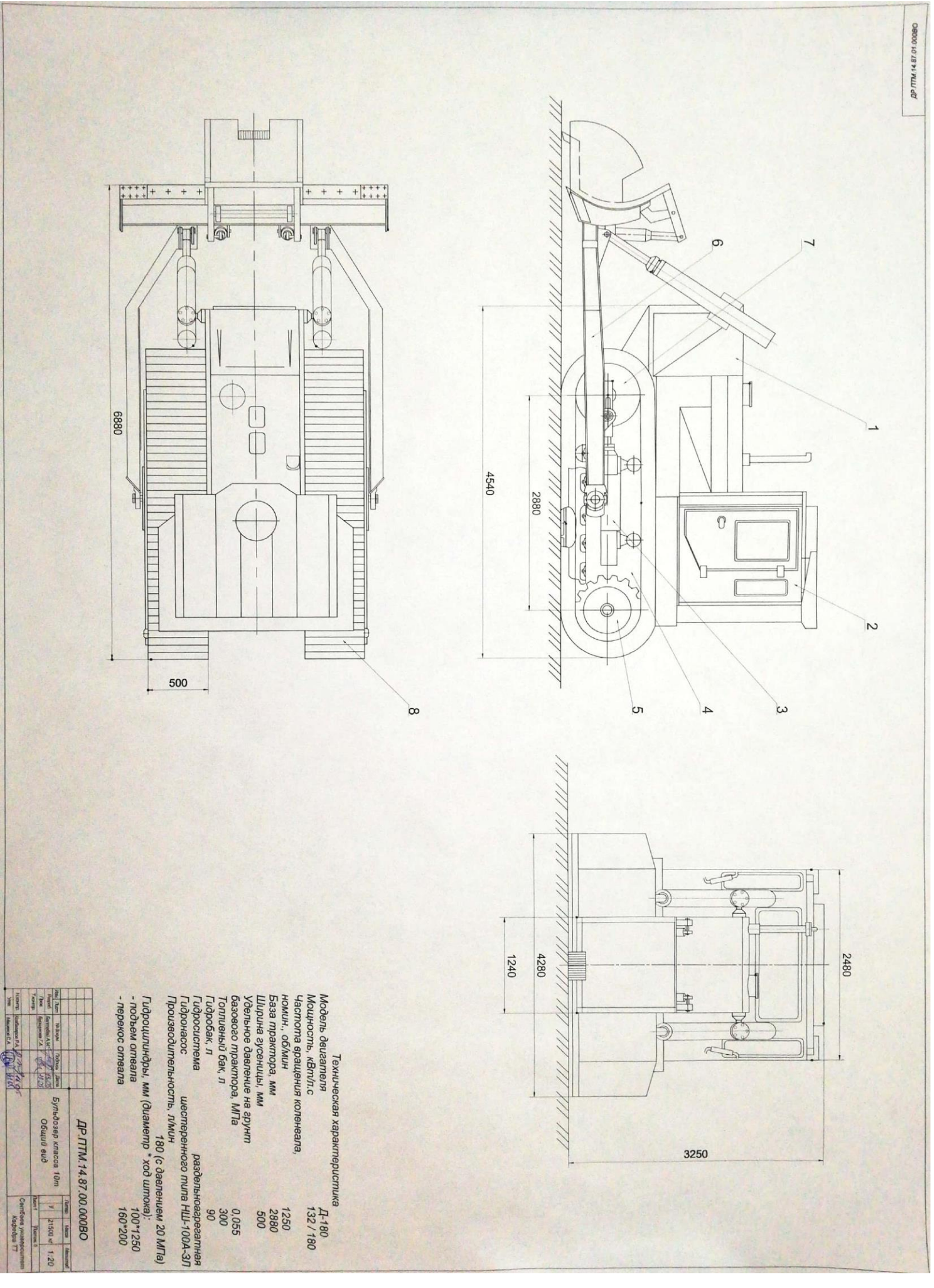
Произвели расчет механизма управления отвалом; определил усилие, действующее на него при возникновении случайных нагрузок. По полученным данным выбрали гидроцилиндр подъема отвала, а также гидронасос, который будет обеспечивать бесперебойную работу механизма управления отвалом.

### СПИСОК ИСПОЛЬЗОВАННОЙ ЛИТЕРАТУРЫ

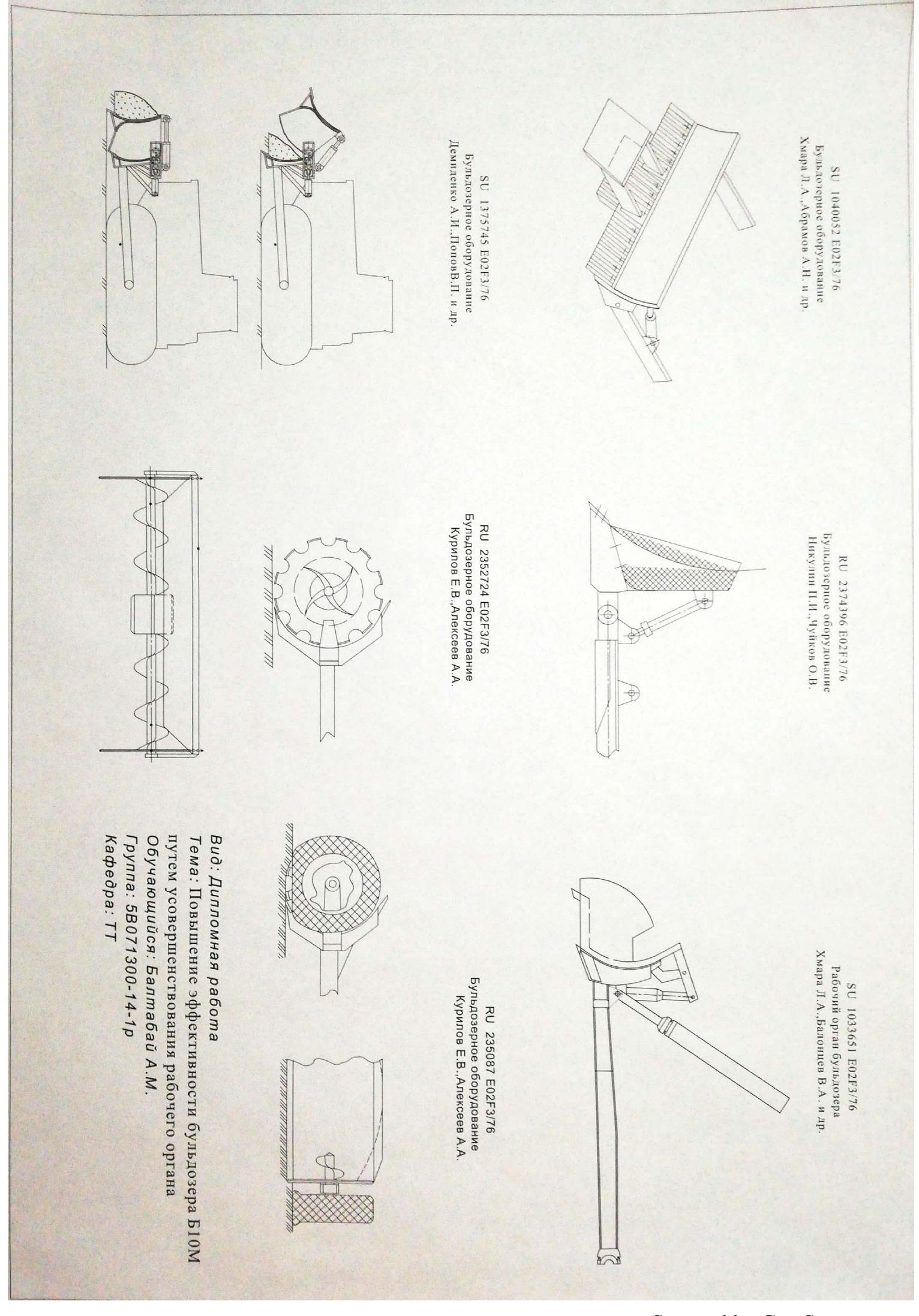
- 1. SU 1033651 A, МПК E02F3/76. Рабочий орган бульдозера. Заявитель: Днепропетровский инженерно-строительный институт и Московский автомобильно-дорожный институт. Авторы: Хмара Л.А., Балонцев В.И., ТимошенкоВ.К.и др. Заявка: 16.04.1982. Опубликовано: 07.08.1983.
- 2.SU 1374745 A1, МПК E02F3/76. Рабочий орган бульдозера. Заявитель:Сибирский автомобильно-дорожный институт им. В.В.Куйбышева.Авторы:Демиденко А.И.,Попов В.П. и др. Заявка: 21.02.1986. Опубликовано: 23.02.88.
- 3.RU 2374396, МПК E02F3/76. Рабочее оборудование бульдозера. Заявитель: Никулин Павел Иванович, Чуйков Олег Владимирович.
- Авторы: Никулин П.И., Чуйков О.В.Заявка: 2008100340/03, 09.01.2008. Опубликовано: 27.11.2009
- 4. ДОРОЖНЫЕ МАШИНЫ. Часть 1. Машины для земляных работ. Издательство 3—е, переработано и дополнено М.,
  - -Машиностроение, 1972, стр. 504. Авт. Алексеева Т. В., Артемьев К.А. и др.
- 5.Справочник технолога-машиностроителя. В двух томах. Т.2/ Под редакцией Косиловой А.Г., Мещерякова Р.К., 4-е издание, перераб. и доп. М., «Машиностроение» 1986г, 496с., с ил.
- 6. Расчет объемного гидропривода мобильных машин: Методические указания для курсового проектирования по дисциплинам Гидравлика II, Гидравлика и гидропривод / Сост. Н.С. Галдин. Омск : Изд—во СибАДИ, 2003. 28 с.
- 7.В. И. Минаев. Машины для строительства магистральных трубопроводов. М.: Недра, 1985
- 8.Бородочев И.П. Справочник конструктора дорожных машин М.: Машиностроение, 1973 504 с.
- 9.Васильев А.А. Дорожные машины М.: Машиностроение, 1979 448 с.
- Методические указания Машины для земляных работ Чита: Чит ГТУ, 1997-41 с.
- 10.А.Ф. Горбацевич и др. «Курсовое проектирование по технологии машиностроения», Минск: «Высшая школа», 1975.
- 11.Ю.А. Абрамов и др. «Справочник технолога-машиностроителя», том 2, М.: «Машиностроение», 1685
- 12.Э.Э. Миллер «Техническое нормирование труда в машиностроении», М.: «Машиностроение», 1972.
- 13.СанПиН 2.2.2. 542-96 «Шум. Общие требования безопасности».ГОСТ 12.1.012-90 "Вибрационная безопасность∥.
- 14.СН РК 4.04-23-2004 «Электрооборудование жилых и общественных зданий. Нормы проектирования».

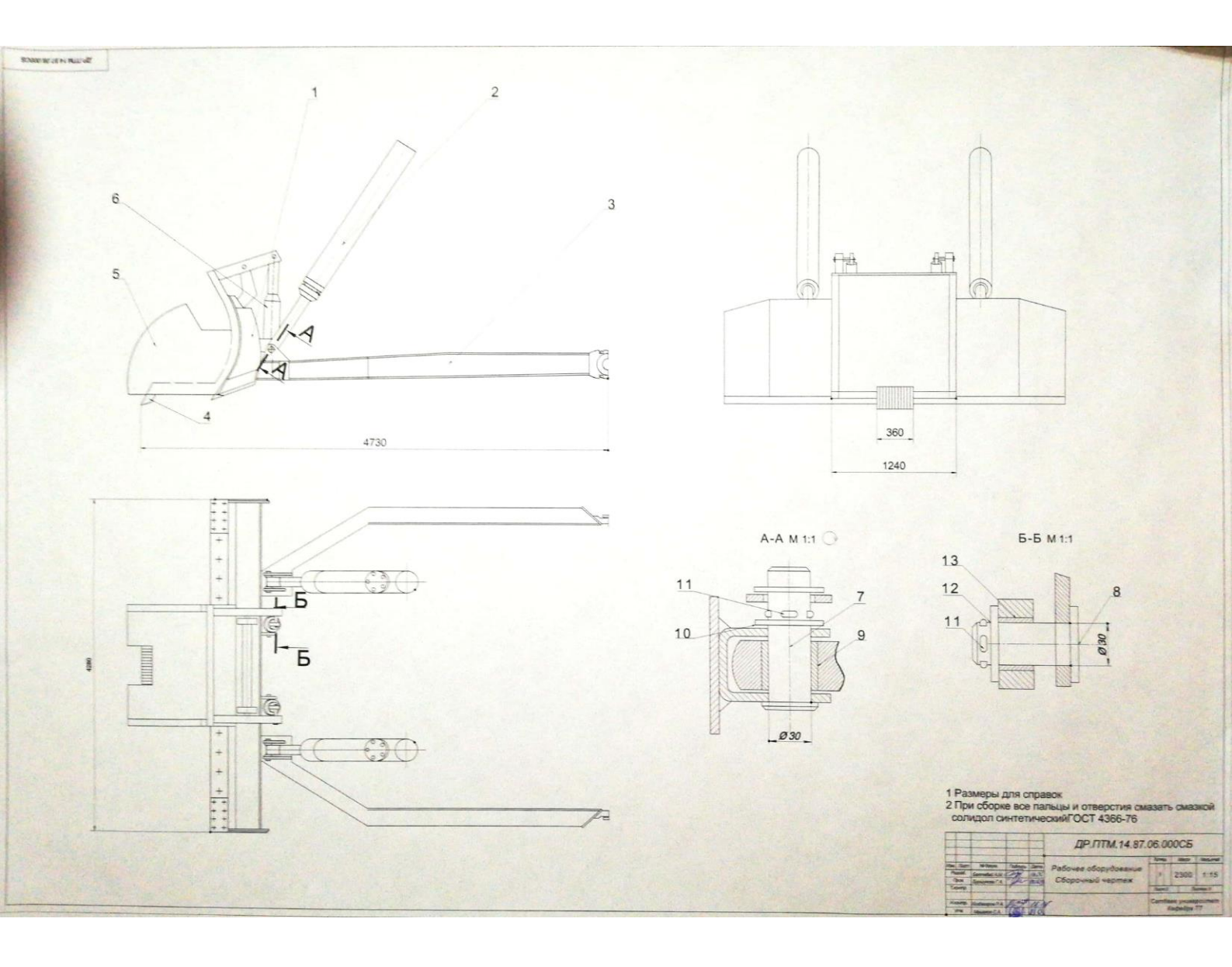
- 15.Под редакцией А.М. Холодова «Проектирование машин для земляных работ». X: Вища школа издательство при Харьк. университете, 1986 г., 272 стр.
- 16.Домбровский Н.Г., Гальперин М.И. «Землеройно-транспортные машины», М: «Машиностроение», 1965 г.
- 17. Алексеева Т.В., Артемьев К.А., Бромберг А.А. «Дорожные машины. Часть I.
- 18. Машины для земляных работ» изд. 3-е, переработ. и допол. М., «Машиностроение», 1972 г, стр. 504.
- 19.Ветров Ю.А., Баладинский В.Л. «Машины для земляных работ» учебное пособие для ВУЗов- Киев: Вища школа. Головное изд., 1980.- 192 стр.

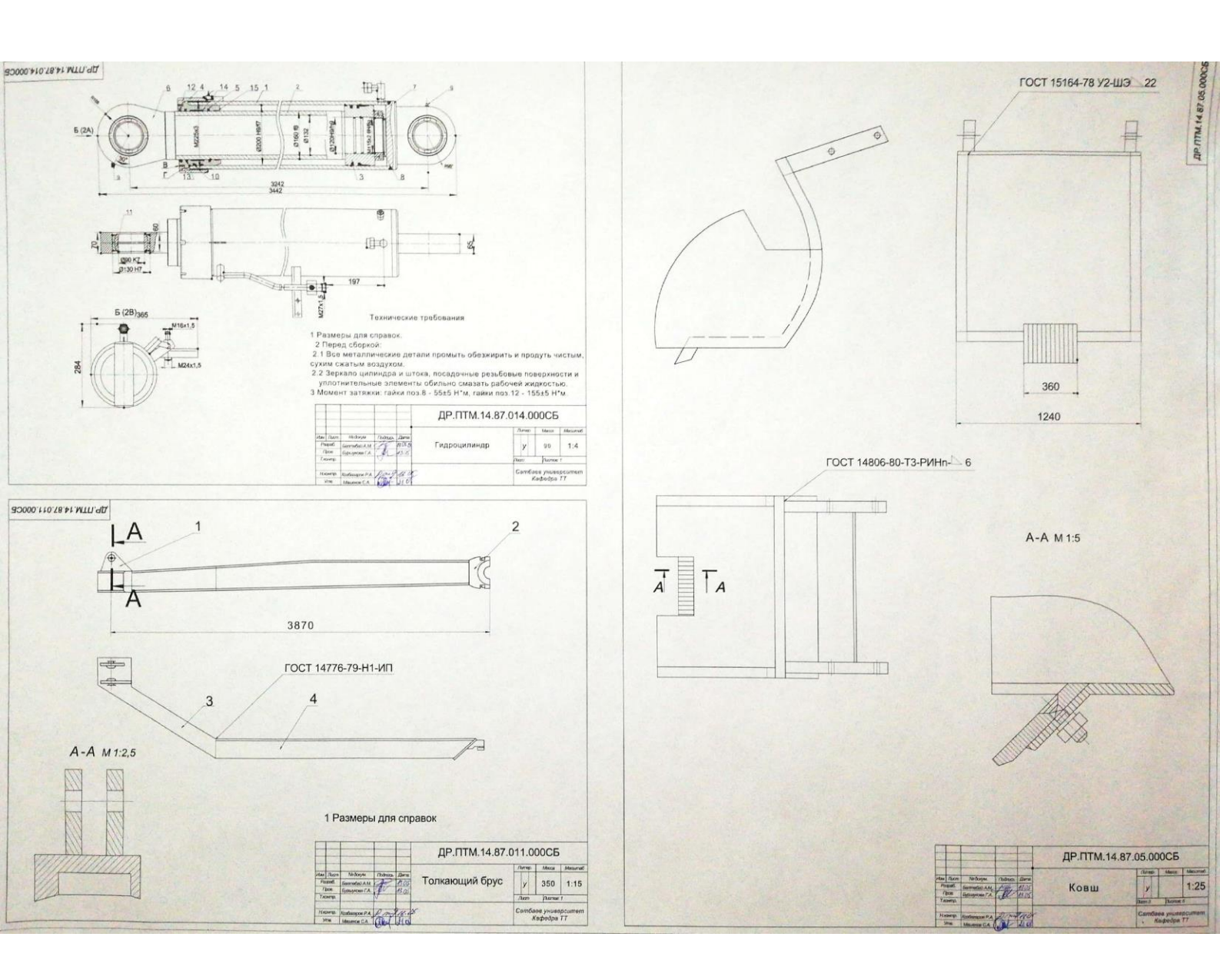


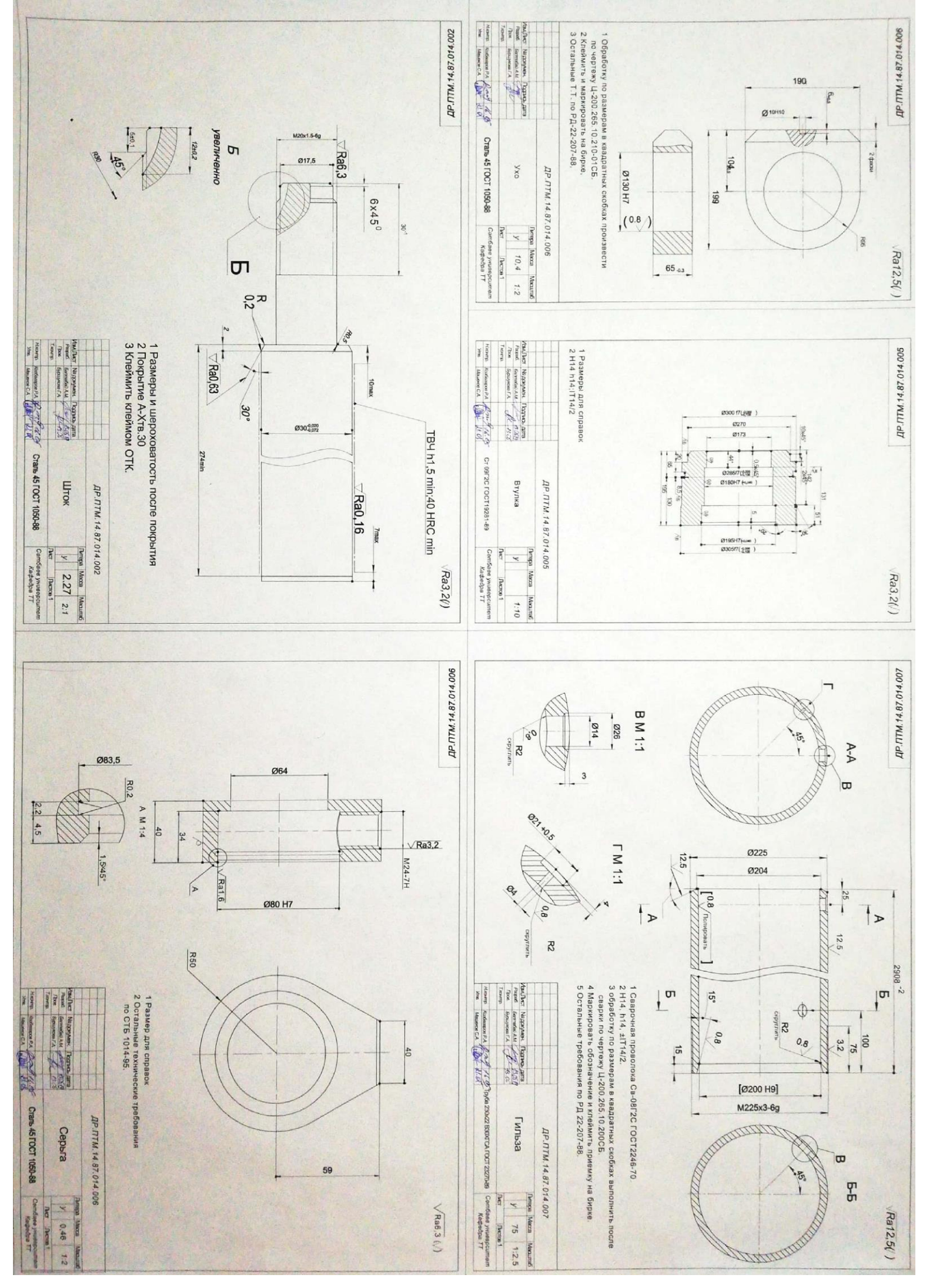


Scanned by CamScanner

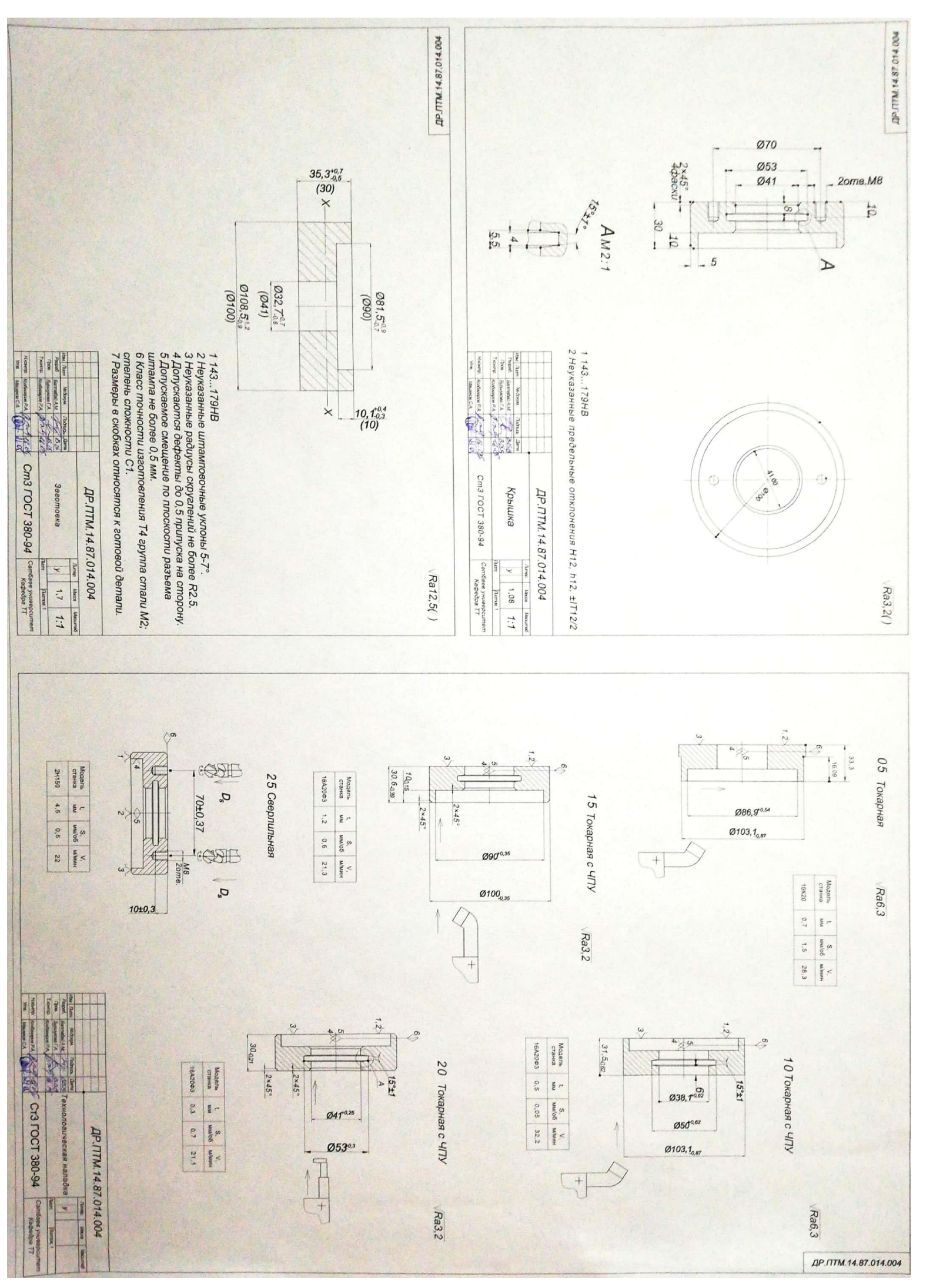








Scanned by CamScanner



Scanned by CamScanner

Dopust	Зоня	Ilo3.	Обозначение	Наименование	Жол. Пр	имеч.
				Документация		
			2			
A1			ДР.ПТМ.14.87.00.000ВО	Общий вид	1	The second secon
				Сборочные единицы		aforest
						The state of the s
		1	ДР.ПТМ.14.87.01.000	Силовой капот	1	
		2	ДР.ПТМ.14.87.02.000	Кабина	1	
		3	ДР.ПТМ.14.87.03.000	Подвеска	1	
		4	ДР.ПТМ.14.87.04.000	Трансмиссия	1	
		5	ДР.ПТМ.14.87.05.000	Колесо ведущее	1	
Toward In the last		6	ДР.ПТМ.14.87.06.000	Рабочее оборудование	1	all recording to
ON COLUMN AND ADDRESS OF THE PARTY AND ADDRESS		7	ДР.ПТМ.14.87.07.000	Колесо натяжное	1	
THE PROPERTY OF		8	ДР.ПТМ.14.87.08.000	Гусеница	2	
Mary Services Printed						
	The Control of the Co					
	The same of the sa					
- Charles Aller	And the second	The second				
and the second		-				
October 1						and directions and
Court Court						
A delivery of the last						
of the last						
and the second	Total Control of the			ДР.ПТМ.14.87.00.000	)	
	Alex perfi.	T N	MONYM. HOAM. ARTS  ANTIGORIA AM. TO 13.05	Лит	Лист Ли	стов
II.				пьдозер класса 10 тонн		1
	KOHT,	o Ko	STATE OF THE STATE	Cer	баев универск кафедра ТТ	rrer

		Формал	Зона		Обозначение	Наименование		Кал.	Примеч.
Repb. npumenenue	15.000					Документация	X		
lepb no	AN.151000.14.A.15.000	A3			ДР.ПТМ.14.87. 14.000СБ	Сборочный чертеж		1	
1	<u> </u>					Сроболняе балнийг	ıl		
N Dauconnie				1	ДР.ПТМ.14.87. 15.000	Гидроцилиндр		1	
	_					Детали			
				2	ДР.ПТМ.14.87. 16.000	Шток		1	
				3	ДР.ПТМ.14.87. 14.001	Поршень		1	
		7		4	ДР.ПТМ.14.87. 14.002	Крышка		1	
١				5	ДР.ПТМ.14.87. 14.003	Втулка направляющая	7	1	
				6	ДР.ПТМ.14.87. 14.004	Проушина		2	
ממווסרם מ	2 =			7	ДР.ПТМ.14.87. 14.005	Гильза	w 11	1	
						Стандартные изде	ЛПВ		
				8		Кольцо Б112 ГОСТ 139	940-86	1	, 12 1
+			+	9		Масленка1,2 Кд6ГОСТ	19853-78	2	*.
		$\dashv$	+	-		Шайба защитная		2	_
			$\dashv$	10		Подшипник ШС90К ГОСТ	3635-78	2	
1		1	$\dashv$	11		Грязесъемник ГОСТ 220	7–68	2	
		$\dashv$	$\dashv$	12		Уплотнение ГОСТ 22704	-77	2	
Dilling		1	$\dashv$	13 14		Кольцо упорное 50-011 ГОСТ	16048-70	2	
HOUNCE U UNITE		7		Ï	Doing Doma	ДР.ПТМ.14	.87.06	.00	0
THE I LOUIS		Изм. Разрад Праве Н.кан	р,	E	№ докум. Подп. Дота Балтабай А.М. Досу 13.05 Буршукова Г.А. В 3.05 Озбагаров Р Дота 16.08 Пашеков С.А (Под - Д.1 0)	Гидроцилиндр ковша		Лист РВ УНИ федра	/ucmob 1 Bepcutet

Формат	Зона	Поз.	Обо	знач	ени	e	Наименов	ание	Кол.	Примеч.
	,									
							Документация			
АЗ			ДР.ПТМ.1	4.87. <i>1</i>	11.0000	Б	Сборочный чертех	(	1	
										100
							Детали			
		1	ДР.ПТМ.1	4.87.	11.001		Проушина		2	
		2	ДР.ПТМ.14	4.87 1	1.002		Проушина		2	
		3	ДР.ПТМ.14	4.87. 1	1.003		Брус косой		2	
		4	ДР.ПТМ.14	4.87. 1	1.004		Брус толкающий		2	
1.				li .						1 1
	-	2							2	
			i i i							
10.7	4	7				n e l'a				
#1% #1.0	3	+	21 = =			II	. 3			
							ĮP.ΠΤΜ.14.87.	11.00	0	
Изм Росс	Лист		докум. Под	п. Да А 13.				Лит	Лист	Писте
Разр Про	рао, В.	-	ттабай А.М. Тур	/3.		Ta="	OLOUMA EDVA	У	7.7701	Листов
H.K	онтр	Male of	багаров Р	m 16.1	25	ГОЛК	ающий брус	Сәтбаев университе		верситет
	В.		иеков С.А	12 11	01			кафедра ТТ		

Формат	Зона	Поз.	Обозначение	Наименова	ние	Кол.	Примеч
1				Документация			
1		_	ДР.ПТМ.14.87.06.000СБ	Сборочный чертеж		1	
+	1			Сборочные единицы			
T							
		1	ДР.ПТМ.14.87.09.000	Отвал		1	
1		2	ДР.ПТМ.14.87. 10.000	Гидроцилиндр		2	
T		3	ДР.ПТМ.14.87. 11.000	Толкающий брус		2	
T		4	ДР.ПТМ.14.87. 12.000	Нож		1	
		5	ДР.ПТМ.14.87. 13.000	Ковш		1	
1		6	ДР.ПТМ.14.87. 14.000	Гидроцилиндр ковша		2	
+	_	4					
T				Детали			
-		_	ДР.ПТМ.14.87.06.001	Палец	· · · · · · · · · · · · · · · · · · ·	2	
+		7 8	ДР.ПТМ.14.87.06.002	Палец		2	
1							
24	-			Стандартные издел	ия		
		9		Подшипник К ГОСТ 83	338-75	2	
+	7	10		Шайба 20 OT 65Г 09 ГОСТ	11371-78	2	
	+	11		Шплинт 5x2833 ГОСТ	397-79	2	
+	$\dashv$	12		Шайба 10 OT 65Г 09 OCT	26-204096	2	1-95
+		13		Подшипник 7000114 К ГОС	CT 8338-75	2	4
+			Toron Toron	ДР.ПТМ.14.87.0	6.000		
зм ) азра	Лист 26.		докум. Поди. Дата птабай А.М. ——————————————————————————————————			Пист	Листов
ров.		Бур	54 THE 13.15	чее оборудование	Сетба	ев уни афедра	1 верситет



Университет:	Satbayev University
Название:	Повышение эффективности бульдозера Б10М путем усовершенствования рабочего органа
Автор:	Балтабай Айбол Мұстафаұлы
Координатор:	Гульзия Буршукова
Дата отчета:	2019-05-12 13:41:03
Коэффициент подобия № 1:	26,7%
Коэффициент подобия № 2:	1,3%
Длина фразы для коэффициента подобия № 2:	25
Количество слов:	6 833
Число энаков:	48 471
Адреса пропущенные при проверке:	
Количество завершенных проверок:	27
	WALLEST CANADA C

К вашему сведению, некоторые слова в этом документе содержат буквы из других алфавитов. Возможно - это попытка скрыть позаимствованный текст. Документ был проверен путем замещения этих букв латинским эквивалентом. Пожалуйста, уделите особое внимание этим частям отчета. Они выделены соответственно. Количество выделенных слов 82

>> Самые длинные фрагменты, определеные, как подобные

<u>0</u>	Название, имя автора или адрес гиперссылки (Название базы данных)	Автор	Количество одинаковых слов
			32
1	URL_ https://knowledge.allbest.ru/transport/3c0a65635a3ac78b4c53a89421206d37	7 0.html	28
2	URL_ https://revolution.allbest.ru/transport/00232152_0.html		26
3	URL_ https://revolution.allbest.ru/transport/00232152_0.html		22
4	URL_ https://knowledge.allbest.ru/transport/3c0a65635a3ac78b4c53a89421206d37	7_0.html	22
	URL_ https://revolution.allbest.ru/transport/00232152_0.html		22
(	URL_ https://revolution.allbest.ru/transport/00232152_0.html		20
	VURL_ https://revolution.allbest.ru/transport/00232152_0.html		

## МИНИСТЕРСТВО ОБРАЗОВАНИЯ И НАУКИ РЕСПУБЛИКИ КАЗАХСТАН СӘТБАЕВ УНИВЕРСИТЕТІ

# РЕЦЕНЗИЯ

на	дипломную работу
na _	(вид работы)
	Балтабай Айбол Мустафаұлы
	(Ф.И.О студента)
	5В071300-Транспорт, транспортная техника и технологии
	(шифр и наименование специальности)
На тему	: Повышение эффективности бульдозера Б10М путём
	усовершенствования рабочего органа
P	
Выполно	
a) 6)	графическая часть на <u>в</u> листах пояснительная записка на <u>бв</u> страницах
0)	пояснительная записка на <u>су го</u> страницах
	ЗАМЕЧАНИЯ К РАБОТЕ
TI.	a server a s
	рецензируемой работе имеются следующие замечания:
THE RESERVE OF THE PERSON OF T	В работе отсутствуют ссылки на использованную литературу
	В графической части отсутствуют некоторые измерения
	Оценка работы
Подмор	пря на замечание, пологаю, что дипломная работа заслуживает
11ecmon	«хорошо»(85 баллов), а ее автор, А.М. Балтабай, заслуживает
	ие академической степени «бакалавр» по специальности 5В071300
THE RESERVE OF THE PARTY OF THE	орт, транспортная техника и технологии».
«Тринсп	орт, траненортнем темпен
- morning	
Рецензе	AND THE RESERVE THE PROPERTY OF THE PROPERTY O
Кандила	т технических наук
LILL ST	ь, научная степень)
Herry	ATT A STATE OF THE
Сподпис	Байжуманов К.Д. (Ф.И.О)
BETTEHNING SE	* OLE COL
(16) Man 2	010

Ф КазНИТУ 704-22. Рецензия

#### МИНИСТЕРСТВО ОБРАЗОВАНИЯ И НАУКИ РЕСПУБЛИКИ КАЗАХСТАН СӘТБАЕВ УНИВЕРСИТЕТІ

#### Отзыв научного руководителя

Дипломная работа (вид работы)

Балтабай Айбол Мұстафаұлы (Ф.И.О студента)

5В071300-Транспорт, транспортная техника и технологии (шифр и наименование специальности)

Тема: Повышение эффективности бульдозера Б10М путём

усовершенствования рабочего органа

Балтабай Айбол Мустафаұлы, в процессе выполнения дипломной работы в полной мере использовал знания, полученные в университете. Работа выполнена в соответствии с заданием кафедры.

В работе необходимые расчеты были выполнены в полном объеме, все чертежи выполнены в соответствии с требованиями ГОСТа. Кроме того, был произведен расчет механизма управления отвалом; определил усилие, действующее на него при возникновении случайных нагрузок. По полученным данным выбрал гидроцилиндр подъема отвала, а также гидронасос, который будет обеспечивать бесперебойную работу механизма управления отвалом.

Представленная на защиту дипломная работа показывает уровень подготовки автора А.М. Балтабай. В связи с этим А.М. Балтабай заслуживает присвоение академической степени «бакалавр» по специальности 5В071300-«Транспорт, транспортная техника и технологии» и ее работу можно рекомендовать к публичной защите.

Научный руководитель

PhD, сениор-лектор

(должность, научная степень)

<u>Г.А. Буршукова</u> (Ф.И.О)

«16» мая 2019г.

КазНИТУ 704-25. Отзыв научного руководителя

